

# MICROWAVE GAS DISCHARGE FREQUENCY MULTIPLIER

に 関 す る 研 究

日本大学理 工 学 部

植 之 原 道 三

# MICROWAVE GAS DISCHARGE FREQUENCY MULTIPLIER

に 関 す る 研 究

日本大学理 工 学 部

植 之 原 道 三

## 内 容 梗 概

空気のマイクロ波放電気圧の測定中に、何らかの適当な条件のもとでは、マイクロ波放電から相当大きな雑音らしいものが発生することに気が付いた。そこで種々の試みの末に、Qの低い放電キャビティを用いて、気圧、放電ギャップの長さ、放電部附近の回路条件を適当にすると、相当な能率で高調波が発生することを見出した。

然しながら、此の高調波が果して放電の中で発生しているかは疑問であり、発生するとしてもその機構は推測も出来ないので、先づ此の高調波の発生源はマイクロ波放電の中以外にはあり得ないことを、実験的に証明した。

高調波出力に影響する要素は次山あるが、その中で定量的に取扱い易い、放電ギャップの長さ、入力、気圧と高調波出力との関係を測定して、周波数倍率としての利用に供した。又これらの一連の実験結果から、高調波発生機構を探求する手懸りをつかもうと試みたが、基本波の角周波数と電子の衝突周波数が、大体同じ程度の時に高調波が発生し、電子速度による衝突周波数変化が関係を持つのではないかろうか、との疑を生じた以外には見当べきものはなかった。

そこで高調波発生機構を調べる手始めとして、それと関連のありそうな既知事項を検討した結果、Margenau 氏の高周波放電理論(1948年)に於て、電子の速度分布函数に高調波分を含めて取扱っていることから、此の取扱を拡張すれば、高調波発生機構を解明出来る筈であると考えた。又同氏の1946年の報告についても、若しも電子速度によって衝突周波数が変化し、電子エネルギーが入力の周波数と一定の関係で変化すれば、マイクロ波放電から高調波が発生する可能性があることを指摘出来るのである。

高調波発生機構解明の手懸りを得るため、放電の入カインピーダンス、電子密度、電子速度の測定を行い、低周波電圧の重ね合せの影響、整流特性を観測してみたが、決定的なものは得られなかつた。そこで純粹気体を用いて実験を行つた結果、気体によつて高調波出力が著しく異り、且つ電子速度による衝突確率の変化、即ち Ramsauer 効果の著しいものほど高調波出力が大きいことを見出して、始めて、Ramsauer 効果が高調波発生を本質的に支配していたことが分つた。平均電子の運動に此の効果を取り入れて、非線型の運動方程式を導き、いくつかの例について高調波分を求めた。又 Rosen 氏による Margenau 氏の計算の拡張に於ても、Ramsauer 効果が本質的なものとして取入れられてゐることを示して、此の考え方の正しさを確めたのであるが、Margenau 氏流の取扱に於ても、又平均電子の運動方程式からも、Ramsauer 効果だけでは偶数次高調波が期待出来ないので、他に重要な要素がかくされている疑があり、低周波電圧の重ね合せの影響、整流現象を伴うことなどを考へ合せたとき、これらの中にその要素を指示するものがあるようと思われる。電子密度の時間的空間的变化、電界分布変化等

が併せ考えられなければならないようである。

高調波発生能率の改善法として、適当な混合気を用いれば（例えばHe+空気で空気が87%のとき、空気だけよりも4dbの能率改善が行われる）良いこと。電極の端面に凹部を設け、上下電極の凹部で形成せられる小さなキャビティ中にアラズマを閉めることにより 16 db の能率改善が行われることが分つた。

此の現象を周波数倍器として利用して、短ミリ波、サブミリ波の発生を目指した各国に於ける研究状況を調べ、それ等から取入れるべき長所を指摘した。そして、此の現象を工学的に応用した場合、周波数倍器として、短ミリ波、サブミリ波の発生に適した多くの長所を持つており、近い将来相当な電力の短ミリ波、サブミリ波を発生する最も有望な方法となることを示した。

然しながら、此の現象にはまだく解明せられなければならぬこと、周波数倍器としてより優秀な特性を望むために、今後研究せられねばならないことは未だ残されているのであって、それ等の問題が述べられている。

# 目 次

第1章 緒論	-----	1
第2章 マイクロ波放電から高調波が発生する事実の確認	-----	5
§.2.1. 高調波が発生していることを見出した端緒	-----	5
§.2.2. 高調波の発生	-----	6
(a). 実験装置		
(b). 高調波の発生法		
(c). 周波数		
(d). 出力		
§.2.3. 高調波の発生源	-----	9
(a). 磁電管の高調波との比較		
(b). 反射波の抑制		
(c). 増幅の疑い		
(d). 磁電管才三調波の遮断		
(e). 実験結果の検討		
§.2.4. 結言	-----	12
参考文献		
第3章 高調波出力に影響する要素	-----	13
§.3.1. 緒言	-----	13
§.3.2. 実験装置及び実験法	-----	13
§.3.3. 放電ギヤップ長と出力	-----	14
§.3.4. 入力と出力	-----	16
§.3.5. 気圧と出力	-----	17
§.3.6. 結言	-----	18
参考文献		
第4章 高調波発生構造の探究 その一	-----	20
§.4.1. 緒言	-----	20
§.4.2. 探究の方針	-----	20
§.4.3. 既知事項の整理	-----	21
(a). 理論的事項		
(b). 実験事実		
§.4.4. 放電のインピーダンス	-----	24
(a). 気圧、入力によるV.S.W.R.の変化		
(b). 気圧、入力による入カインピーダンスの変化		
(c). 気圧変化によるV~I特性の変化		
§.4.5. 電子密度及び電子温度	-----	27

§. 4. 6.	低周波電圧の重ね合せ	30
§. 4. 7.	放電の整流特性	33
§. 4. 8.	結 言	34
参考文献		
第5章 高調波発生機構の探求 その二		36
§. 5. 1.	緒 言	36
§. 5. 2.	純粹気体による研究	36
	(a). 実験装置	
	(b). 実験方法	
	(c). 実験結果と気体の物理量との対応	
§. 5. 3.	高調波発生機構の物理的説明	37
§. 5. 4.	平均電子の運動からの説明	38
§. 5. 5.	P. Rosen 氏の計算について	40
§. 5. 6.	結 言	43
参考文献		
第6章 高調波発生能率の改善		45
§. 6. 1.	緒 言	45
§. 6. 2.	気体の種類による能率改善	45
§. 6. 3.	プラズマの閉込めによる能率改善	46
	(a). 実験方法及び実験結果	
	(b). 閉込めの現象の説明	
	(c). プラズマの誘電率からの考察	
§. 6. 4.	結 言	48
参考文献		
第7章 各国に於ける研究状況		49
§. 7. 1.	緒 言	49
§. 7. 2.	米国に於ける研究	49
§. 7. 3.	英國に於ける研究	51
§. 7. 4.	カナダに於ける研究	51
§. 7. 5.	各研究の検討	52
参考文献		
第8章 短ミリ波、サブミリ波の発生に於て本研究の有する意義		53
§. 8. 1.	緒 言	53
§. 8. 2.	各種周波数倍増法とその難易	53
	(a). 電子ビームからの高調波	
	(b). 他の非直線電子からの高調波	
§. 8. 3.	Microwave gas discharge frequency multiplier	55
参考文献		
第9章 緒 論		57

# 第1章 緒論

電気的に電磁波を発生させようと思すものにとつて、より高い周波数、より大電力をと望むことは、人間の欲望と同じく限りがないのであって、その理由の如何を問わないものである。此の研究を始めた少し前、即ち約10年前迄はサブミリ波帯の所が人類未開拓のスペクトラム領域として残されており、光学の分野では波長を長くし、電気の分野に於ては波長を短くして此の領域を埋めようとの努力がなされていた。1954年に、W. Gordy 氏はマイクロ波分光学に於ける必要性にかられて、クリスタルを用いて周波数倍倍に<sup>(1)</sup>より 0.77 mm のシグナルを求め、更にその後<sup>(2)</sup> 0.50 mm のシグナルの発生にも成功しているが、夫に非常に微弱な電力のものであり、難音それくのものである。しかも猶、その波の発生技術はまことに微妙な美を持つており、むろん名人芸とでも称すべきものであつて、何人でも欲する時に容易に発生出来るというようなものではなく、サブミリ波帯は依然として未開拓の状態で残されていると言つて差支えないものである。

マイクロ波分光学に於て最も穂々<sup>(3)</sup>い周波数帯は短ミリ波からサブミリ波にかけてのそれであると予想せられており、又核融合研究に於ける高温、高電子密度プラズマの測定に於ても、短ミリ波、サブミリ波は不可欠の武器である。更に又核融合研究成功の暁に於ては、反応制御の為の情報を得る手段として、その使用は当然予想せられる所である。その他天文学等種々の分野にわたり広範囲な応用の道が考えられているのであつて此等の周波数帯の相当な電力のシグナルを発生する事が、近来とみに渴望せられる極になつて来たわけである。

此の為 1950 年代の始め頃から、世界各国に於て、相当な人員と資材を注ぎ、現段階に於て考え得るあらゆる方向から研究が進められていながら、決定的な手段については予想すら立たず、暗中模索の状態であり、何うかの新しい割期的な概念の出現により問題が解決せられる事が待望せられているのである。それ迄の過渡的な手段として考えられるのが、周波数倍倍法であり、色々の方法があるが大体一長一短がある。本研究は氣中マイクロ波放電から高調波が発生する現象を見<sup>(4)</sup>して、それの利用により周波数倍倍法の中に新しい一の方法を附加えたものであつて、

- i). 入力容量が大きい事 (数百 W ~ 数百 W)
- ii). 高調波発生の能率が良く (基本波 3000 MC のときオニ調波で -8 dB)、高調波次数增加による能率の低下が従来のものに比べて少いこと (-3 ~ -4 dB/harmonic)
- iii). 従来のものに比べて周波数変換部の寸法を格段に大きく出来ること
- iv). 構造が簡単で、表面の仕上げ及び工作精度を大して必要としないことが特長であり、短ミリ波、サブミリ波帯に於て比較的大きな電力を発生する方法としては、現在の所最も有望な方法であると評価せられている。然レ此の方法も

含めて、周波数倍法はあくまでも適応的な性格のものであって、新しい概念に基く巧妙なサブミリ波の発生法の開発と共にその姿をひそめながら運命を持つてゐる事は勿論である。

此の研究は、マイクロ波放電から高調波が発生する事実を発見したことによつて始められたわけであるが、最初に於てはその事実すら中々承認されなかつた。そこで、その高調波の発生源がマイクロ波放電以外に考へ得られないことを実験的に確認することが第一の仕事であつた。此のことが第2章に述べられている。

此の現象を周波数倍法に利用する場合、如何なる要素が高調波出力に影響するかを知ることが必要であり、それは又現象自体の本質を見究める上からも大切な点である。元等の要素のうち、定量的に取扱い易いものについて調べた所が第3章に述べられている。

マイクロ波放電から如何なる構造によつて高調波が発生するかという点については、始めは全く不明であつた。又その発生構造を簡単に推測し得ないが爲にこそ、最初その事実自体を中々承認してもらえなかつたわけである。物理的な観察からすれば高調波発生構造が興味の蕉葉であり、工学的な観察からは周波数倍器として用いて早く短ミリ波、サブミリ波を発生することである。然し発生構造の解明をさしあいで工学的な努力は、その究極の目的を達する爲の捷径とは思われない。この点はクリスタルを用いて周波数倍法によりサブミリ波を発生せしめる場合に、如何なる特性のクリスタルを用いたが良いか未だに不明であつて、試行によつている点から考へても明らかである。そこで発生構造の探査に着手したわけであるが、実験事実の集積以前に理論解説を行ふ事は往々にして誤った結論に導くことがあり、又その任に耐えるものでもないので、「放電の如何なる要素が、高調波発生に本質的な役割を果していふか」を実験的に探査することにし、電子速度によつて衝突周波数が変化すること即ち *Ramsauer effect*<sup>(8)</sup> が本質的なものであることを突止めた。そしてこの事を取上げて、モデルとして平均電子の運動を非線型の運動方程式で表わし、その結果から今迄の実験事実を検討した。然しこれで高調波発生構造が解明せられたわけでない。本質的には電子の速度分布の取扱いから始まなければならぬ問題であり、H. Margenau<sup>(9)</sup>氏の扱方がより正しいものと見なければならぬ。然し彼の計算に於ては、電子密度の変化を仮定しなければ、偶数次高調波を期待出来ないし、マイクロ波帯に於て電子密度が電界とともに変化するとは考へ難いので、此の点で実験事実の半分を説明し得るにすぎないのである。又平均電子の運動をモデルとする場合に於ても、モデルのヒリオによっては偶数次高調波を期待出来なくなるのであつて、*Ramsauer effect* の他に何らかの重要な要素がかくされていふ點がある。第4章、第5章にはこれらについて述べられている。

*Ramsauer effect* が高調波発生に於て本質的に重要な要素であることから、気体の種類によつて高調波発生性能率が大いに異なることは明らかであるが、混合気については *Ramsauer effect* に関する測定結果は殆ど見当らない。そこで空気と純粹気体との混合気について、混合比を変えて実験したのであるが、著しい能率

改善が行われることが分つた。此の原因については現在全く不明であつて、今後の研究にまだなければならないわけであるが、單にRamsauer effectだけと結びつけて考えらるるものとは思われない。然し、適當な気体を適當な混合比で用いれば著しい能率改善が行われるという事実は、応用上重要な意味を持つており、より高能率の混合気を求めるという新しい仕事が派生したわけであり、その実験事実の集積は又その原因解明の方向を指示することにもなるわけである。磁場調波発生能率が電極構造によつても着しく異なることも明らかであるが、此の問題は中々に複雑であつて、基本波の周波数によって放電部の形状が構造的に自から或範囲に限定せられる美もあり、現在の所は経験的に決めていく状態である。筆者は放電各極の端面に凹みをつくり、両電極の凹みで形成せられる空洞中にプラズマを閉じ込めるところにより著しい能率改善が行われることを見出した。<sup>(11)</sup>これらのことがオ6章に述べられてゐる。

筆者の最初の報告を基にして次オに各国に於ても同じ様な研究が行われるようになつてきた。そのうちで筆者の知り得た範囲のものがオ7章にまとめられてゐるが、此の問題の現在に於ける飛躍状況を示してゐると考えて差支えないと思われる。又オ8章には短ミリ波、サブミリ波の発生を目指して各種の研究についての概観を行い、その分野に於ける本研究の有する意義が述べられている。

現在筆者はサブミリ波の発生を直接の目的として、次オに基本波の周波数を上げ、放電部の改善を行ふ等の研究を行つてゐるが、猶その他に明日の課題として残された多くの問題点があるであつて、其等を整理したもののがオ9章に示されている。

本章の始めに述べたサブミリ波の願望は、本研究の進展と共に、過渡的な手段ではあるがこゝ1~2年の中に達成せらるるものと思われる。然しその場合シグナルの発生と同時に問題となるのは、その検知法、周波数、電力、インピーダンス測定法等の問題であつて、それらの研究もまはや開始されなければならぬ時期に来てゐるのである。

## 参考文献

1. C.A. Burus & W. Gordy, *Phys. Rev.*, vol. 93, 897~898 (1954)
2. Millimeter Waves, M.R.I. Symposia Series vol. IX, P.9, Polytechnic Press.
3. " " P.15, "
4. 植之原、升谷、稻田. 電気四学会連合大会(昭和32年4月)  
Uenohara, Uenohara, Masutani, Inada, I.R.E. Tube Conference (June 1959)  
植之原、升谷、植之原、稻田. 施用物理 Vol. 26, 358~362 (1957)  
Uenohara, Uenohara, Masutani, Inada, I.R.E. Vol. 45, 1419~1420, (1957)  
植之原、植之原、升谷、稻田 電気学会誌 Vol. 78, 898~907, (1958)
5. オンタリオ大学(カナダ)に於ける成果 私信による
6. N.R. Bierrum & D. Walsh, *J. Electronics & Control*, 81~90, (1961)
7. Millimeter Waves, M.R.I. Symposia Series vol. IX, P.652, Polytechnic Press.
8. L.B. Loeb, *Basic Processes of Gaseous Electronics*, P.214, Univ. of California press
9. H. Margenau & L.M. Hartman, *Phys. Rev.*, Vol. 73, 309~315, (1948) (1955)
10. 升谷、植之原、稻田. 電気四学会連合大会(昭和36年4月)  
11. 植之原、升谷、稻田. 全上
12. Uenohara, Uenohara, Masutani, Inada, I.R.E., Vol. 45, 1419~1420 (1957)

## 第 2 章

### マイクロ波放電から高調波が発生する 事実の確認

#### §. 2. 1. 高調波が発生していることを見出した端緒

此の研究を始める前は、筆者は 3000 MC に於ける空気の  $P_{l\infty} \sim V_s$  特性の測定 ( $\gamma = \text{気圧}$ ,  $l = \text{放電ギャップ長}$ ,  $V_s = \text{放電開始電圧}$ ) を行っていた。<sup>(1)</sup> その実験には  $Q$  の比較的高い ( $Q \approx 400$ ) 放電キャビティを用いていたのであるが、放電キャビティを取除いて導波管の途中に豆電球(真空度が悪い)を置いて放電させた時に、3000 MC よりも相当高い周波数の所にも相当な大きさ ( $\mu\text{アンペア}$  一を振らせる程度) の雑音が発生するらしい事に気づいていた。又  $P_{l\infty} \sim V_s$  特性の  $V_{s\min}$  附近で  $V_s$  の値が急激に低下しており、此の様な条件の時には放電自体に何物か干渉されているのではないかとの疑を持っていた。その少し前頃から、短ミリ波、サブミリ波の発生を目指して色々と新しい試みがなされ始めており、我が国に於てもその分野に対する興味がようやく盛上り始めたのが丁度此の研究を始めた頃 (1955 年) であったので、筆者の興心もその方に大きく傾いていたのである。此の研究を始めるに当つての筆者の考方は次に述べるように全く幼稚なものであつて、マイクロ波放電から高調波が発生する事など夢想だにしなかつたのである。即ち「Hertz 氏等が用いたマイクロ波は直流放電の雑音のうちのマイクロ波帯の特定の周波数のものを育生した<sup>(2)</sup> ものであり、発振そのものも起源は雑音に求めなければならぬ。マイクロ波放電からの雑音も、クリスタルの検波電流が  $\mu\text{アンペア}$  程度の大きなものがある所をみると、元の周波数より高い所では何らかの用途がある筈である。若しある周波数帯に雑音が集中することでもあれば、その周波数だけ残して周囲の雑音を除去すれば充分用途が考えられる」という考方であつた。

此の考方を試みるために、それ迄使用していた 3000 MC の放電の実験装置と、誘電定数測定に用いた 10000 MC の実験装置を利用して種々の実験を行つた。始めは放電電圧の測定に用いた  $Q$  の高いキャビティを用いて放電させたのであるが、此の場合にはクリスタルの検波電流を  $\mu\text{アンペア}$  で読むという感度の悪い方法では雑音を検知する事が出来なかつた。これは入力の周波数に共振し、然も適当な未知の周波数で発生する大きな雑音に対しても共振するが故にキャビティを作ること自体が不可能なことで、問題は  $Q$  が高いことにあると考えた。又導波管の途中で放電させた時には相当な雑音が発生したこと想起して、第 2.1 図に示す様な  $Q$  の低い放電キャビティを作つた。そしてステップの調節、気圧及び放電ギャップ長を種々に変えて実験した結果、大体オミ、オ四調波に当る所に、相当な雑音が集中していゝらしいことが分つた。<sup>(3)</sup> (此の時迄は 6000 MC 帯の測定器を持たなかつたので、オニ調波については分りなかつた。)

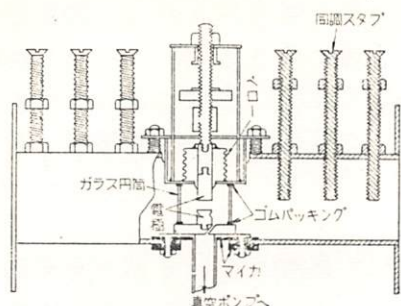
此の様に特定の周波数に電力が集中していることから、これはもはや單なる雑音とは云ひ難い。然らば何物であろうか。当時の一般的興味からすれば、プラズマ振動？ との疑念は直ちに起るわけであるが、それ迄の実験と照合したとき、プラズマ振動の大きさはこの様な感度の悪い方法で検知出来るほど大きなものではない。又その周波数は電子密度で決定せられるものであり、放電で形成せられるプラズマの電子密度が場所によって変化するとは云え、丁度うまく入力周波数の3倍、4倍の所に電力が集中して、その間に振動が出ないといふのは不自然である。従つてプラズマ振動とは考へ難い。入力の高調波であることに間違ひをそうであるが、一体何所から発生していゝのであらうか。案外磁電管自体の高調波を拾つたのではないかとの疑念は誰しも懷く所であり、筆者自身もこの疑念からは相当長期にわたつて解放せられなかつたのである。たゞ放電を止めると検知出来る高調波電力が非常に小さくなることから、放電自体の中で発生していゝらしい、プラズマが或周波数の電波で励振せられた時に発生する振動らしい、との予想から以下の研究が進められたのである。

### 3.2.2. 高調波の発生<sup>(4)</sup>

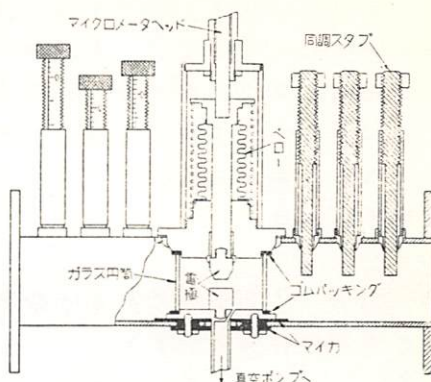
そこで、実験装置を整備して、発生する高調波の周波数、出力に關係する要素を調べ、更に高調波の発生源を探ることにした。

a). 実験装置 実験装置の構成図を图2.2 図に示す。電源としては、パルス用磁電管 M312A (第二次世界大戦中の日本無線製) を連続波で使用したが、周波数 3030 MC、最大出力約 30 W であった。入力の調節は水抵抗体として用いた大電力用可変抵抗減衰器 5 によって行った。又入力の測定は電力監視装置 6 によって行った。6 の検波電流と入力とは、あらかじめ 7 の先に水負荷を接続して電力を実測することにより校正しておいた。3000 MC 帯及び 9000 MC 帯で使用したクリスタルは、各々の接続せられる計器と組にして、その使用周波数において定在波測定器を用いて校正した。8 調波出力の測定にはサーミスタブリッジを用い、気圧は熱電対型真空計 ( $1 \sim 10^{-3} \text{ mmHg}$ ) 及び水銀の代りに真空ポンプ油を用いたマノメータ (油柱  $14.5 \text{ mm} \approx 1 \text{ mmHg}$ ) を用いて測定した。放電キャビティは图2.3 図に示す通りであり、3000 MC 帯矩形導波管の E 面中央に、土下から円柱状電極 (直径約 7 mm) を出し、その周囲を内径約 35 mm の硬質ガラス円筒で囲み、ゴムパッキンで気密を保つた。また上部電極はマイクロヘッド、ベロー及びばねを用いて、気密を保ちながら移動出来るようになつており、放電ギャップの長さの測定も可能である。最初電極間に低周波放電を行わせておけば、マイクロ波放電の開始が容易であるので、下部電極と導波管とは雲母板により直流的に遮断せられてゐる。排気孔は下部電極に近く設けられており、導波管の H 面の一側には直径約 5 mm の観測孔が設けられている。電極の前後に設けられた各 3 本の同調スタブは、(1). 放電部と電源側との整合を良くする。(2). 放電ギャップに強い電界がかかるようにする。(3). 希望する次數の高調波が

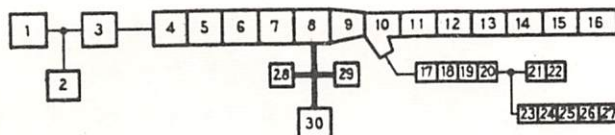
成長しやすくなるようにする。(4). 高調波について、受信部と放電部との整合を良くする。ためのものである。



オ2.1図



オ2.3図



- |             |               |                      |
|-------------|---------------|----------------------|
| 1. 磁電管      | 11. 高域フィルタ    | 21. 同調スタブ            |
| 2. 波長計      | 12. 波長計       | 22. クリスタル(サミスター)マウント |
| 3. 定在波測定器   | 13. 可変減衰器     | 23. テーパ導波管           |
| 4. 同調スタブ    | 14. 定在波測定器    | 24. 高域フィルタ           |
| 5. 大電力可変減衰器 | 15. 同調スタブ     | 25. 波長計              |
| 6. 電力監視装置   | 16. クリスタルマウント | 26. 同調スタブ            |
| 7. 定在波測定器   | 17. 高域フィルタ    | 27. クリスタルマウント        |
| 8. 放電空洞     | 18. 波長計       | 28. 热電対型換空計          |
| 9. テーパ導波管   | 19. 可変減衰器     | 29. 油を用いたマノメータ       |
| 10. スイッチ    | 20. 定在波測定器    | 30. 真空ポンプ            |

オ2.2図

(8). 高調波の発生法 放電ギャップの長さを2~4mmに、気圧を0.3~1mmHgの間に保ち、先づ直流または50c/sの電圧を加えて電極間にグロー放電を起させておき、磁電管から数W以上の電力を送り、同調スタブを適当に調節すると簡単にマイクロ波放電が起る。そこで低周波電圧の重ね合せをやめ、更に同調スタブの調節を適当にすると、高調波が発生する。その上で放電ギャップ、気圧、同調スタブの調節を行って、オニ、オ三、オ四調波の検出を行った。

(C). 周波数 各高調波の出力は、気圧、放電ギャップの長さ、入力、同調スタブの調節等によつて大きく変化するが、いずれの場合でも出力の周波数は入

力のそれの整数倍であった。たとえば入力の周波数 3,033 MC に対し、出力の周波数はそれぞれ 6,066, 9,099, 12,130 MC であった。入力および各高調波の周波数の測定は、すべて H<sub>011</sub> 姿態の円筒形空洞共振器を用いたので、4 桁目までの数字は信頼できるものと考える。更にこのことを確かめるために、入力の周波数を  $\Delta f$  だけ変化させてオミ調波の周波数を測定したところ、正確に  $3\Delta f$  だけ変化していることがわかった。以上のことから、検知した電波が入力の高調波であることは明かである。

d). 出力 高調波の出力は種々の条件によって影響を受けるが、その概略について述べると次に示すとおりである。即ち主として (1). 気圧 (2). 放電ギヤップ長 (3). 同調スタブの調節 (4). 入力 (5). 電極およびその附近の形状、電極の直径 (6). 低周波電圧の重ね合せ (7). 気体の種類 などで変化する。

気圧によって高調波出力は大きく変化し、又高調波の次数によって出力が最大になる気圧が異なる。オニ調波の最大出力は比較的低い気圧の場合に現われ、気圧が高くなるにつれて、その出力は減少してオミ調波の出力が増加し、最大になり、更に気圧が高くなるとその出力も減少しオ四調波が現われ、最大値を経て再び減少していく。勿論高調波の次数によって最適の同調スタブの調節状態は異なるのであるが、気圧が適当で同調スタブの調節もまた適当であれば、オニ調波とオミ調波、あるいはオミ調波とオ四調波とを、同時に相当の出力で発生させることも可能であった。

同調スタブは放電電極に近いものほど敏感に作用し、導波管壁との接触の良否が大きく影響することは勿論であるが、要するに電極間に強い電界がたり、希望する次数の高調波出力が大きくなるに適当に調節するといふに止り、その調節の仕方は実際に即して行う他はない。然し高調波出力に敏感に作用することは事実である。又調節の仕方によつては、放電領域が電極の中心軸より一方に偏つたり、あるいは入力側のガラス壁の所と電極間の 2ヶ所で放電を起すこともあるが、このような場合には高調波出力は著しく減退する。

放電ギヤップ長は適当な長さがあり、短すぎても又長すぎても出力が減る。入力が大きいほど出力は大きくなるが、放電が維持されなければ問題にはならないので、一定以上の入力を必要とするることは勿論であるが、それ以上の或入力迄は高調波発生能率が低く、その点を越すとほど入力に比例した出力が求められるようである。高調波次数が高くなるとその発生能率の良くなる入力は一般に大きくなるようである。

電極およびその附近の形状、電極の直径によっても出力は相当変化するようである。円筒形および円錐台形の電極を用い、その端面の直径を種々に変えて実験してみたが、実験の範囲内では、円筒形で直径 7 mm ぐらいいの場合が最も高調波出力が大きく、直径を小さくするほど出力は減退した。直径が 10 mm を越えると出力の減退が著しく、この場合には電極の中心部に光輝の強い放電が起り、それを取巻いて光の弱い放電が起つていた。またオ2.1 図に示した放電キャビテ

イを用いた場合は、オ2.3回に示すもの用いた場合に比べて偶数次の高調波が大きく、奇数次の高調波は小さかつた。これは用いたガラス円筒及びゴムパッキンの直径が異るためオ三調波がそこで吸収せられるからではないかと考えたので、オ2.3回のキャビティにもオ2.1回で用いたガラス円筒と同一直径のものを用いてみたが大差なかった。多分電極構造の非対称性と高調波次数との間に何らかの関係が在るのでないかと思われるが、今后の研究にまたねばならない。

上下電極の間に低周波（或は直流）電圧を重ね合わせると、高調波出力は著しく変化する。同調ステップの調節が充分でなく、放電も幾分弱くて、高調波出力が最大になる条件になり場合に、低周波電圧をわざか重ね合せると、高調波出力は一般に増加する。そして電圧増加とともに出力は増加し最大点を経ると以後急激に減少する。然し出力最大の条件においておいて低周波電圧を重ねると出力は減少の一途をたどるだけである。

今迄の実験は空気についての結果であるが、気体の種類によつても高調波出力は変化するようである。たゞ放電キャビティの気密が悪かつたために、空気との混合気についての実験になつてしまつたので、明瞭な差異は認められなかつた。しかし、CO<sub>2</sub>を用いた場合は高調波出力が少く、O<sub>2</sub>, N<sub>2</sub>, H<sub>2</sub>, Aを用いた場合は出力は空気とほゞ同じで、Aは相当高い気圧でも高調波が発生した。此の程度の実験では気体の種類による影響について、はつきりしたことは云えないのであるが、高調波が放電の中で発生しているものとすれば、その媒質となる気体の何らかの性質が高調波出力に大きな影響を及ぼすこととは、ありそうなことであると考えられる。

これ迄に求められた最大出力を示すと、次のとおりである。

入力	30 mW
オニ調波出力	約 100 mW
オミ調波出力	約 30 mW
オ四調波出力	約 1 mW

### §. 2.3. 高調波の発生源

此の高調波は何所から発生しているのであらうか。その発生場所としては、磁電管とマイクロ波放電の二つが考えられる。磁電管は相当強い高調波を発生することはよく知られており、又その動作条件によつても高調波分は異なる。§. 2.2. に述べた所を見れば、一つ一つが、高調波はマイクロ波放電の中で発生したのである、と考えたくなるような要素である。然し立場を変えて、次のような疑問、即ち、磁電管の中で発生した高調波が放電部を通して、放電の条件で透過係数が変化したり、或は放電からの反射波で磁電管の動作状態が變るため高調波の発生が変化したこと、あとかも放電の中で高調波が発生したかのように見誤ったのではないか、ということに対しては、§. 2.2. はそれを覆す決定的な決め手にはない。この点に関する決め手として、以下に述べる一連の実験を行つた。

(a). 磁電管の高調波との比較 オ2.2図の回路で、放電キャビティへの入力を一定(12.4W)に保つて、放電が行われているときの高調波出力を測定した。また同一入力のとき、放電を行わせないで磁電管の共振状態、放電ギヤップ長、同調ステップの調節をいろいろに変えて、磁電管自体が発生する高調波とともに大きく検出しようと努力してみた。それらの結果はオ2.1表に示すとおりであつた。またオ2.2図の回路から放電キャビティを取り除き、磁電管の励振状態を変えて高調波を大きく取出そうとしてみたが、その結果はオ2.1表に示した磁電管の高調波出力と大差なかつた。

オ2.1表 (入力 12.4W)

	マイクロ波放電 が行われたとき の出力 (mW)	磁電管の 高調波出力 (mW)	最適気圧 (mmHg)
オニ調波	約 60	約 1	約 0.7
オミ調波	21	約 0.3	約 0.9
オ四調波	約 0.6	約 数mW	約 1.2

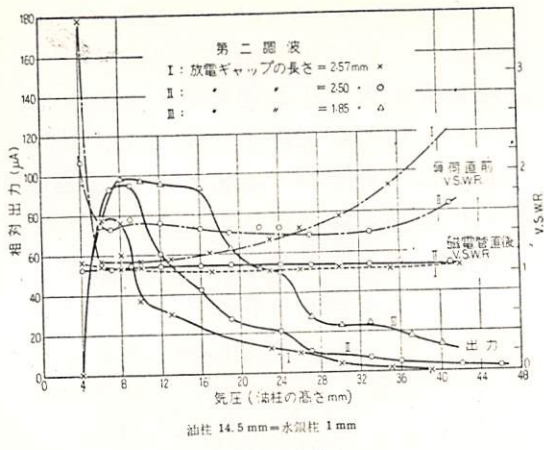
(b). 反射波の抑制 オ2.2図の3と4との間にパット(減衰量約-15db)および一方向伝送回路(順方向減衰量約-2db, 逆方向減衰量約-8db, このように特性が悪いのはフェライトの温度上昇のためである)を挿入し、磁電管の出口のところで測ったV.S.W.R.を1.03以下にして、オニ、オミ、オ四調波出力を測定した。その結果は右に示すとおりである。

この程度の入力では、放電していないうときは、いかに気圧や放電ギヤップの長さ、および同調ステップの調節を行っても、此の実験に用いた検出装置では高調波を検出できなかつた。また放電しているときも各条件の調節が適当でなければ高調波を検出できなかつた。

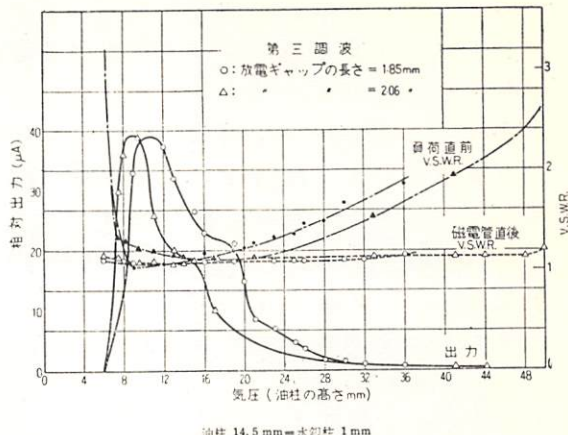
パットの減衰量を約-10dbとし、気圧を変化させてオニ、オミ調波の出力および磁電管の出口と放電キャビティの手前で測ったV.S.W.R.の変化を測定した。その結果はオ2.4図a, bに示すとおりである。

(c). 増幅の疑い オミ調波と同一周波数の電波(数ミリワット)を導波管の途中から送り込み、マイクロ波放電と重ね合わせてみたが、実験の範囲内では放電によって減衰を受けるだけであつた。

(d). 磁電管オミ調波の遮断 オ2.2図の3と4との間に帯域消去フィルタを挿入して磁電管からのオミ調波を遮断して実験を行つてみたが、フィルタを挿入したときとしないときとでは、受信側で検知できたオミ調波出力は大差なく、むしろフィルタを挿入したときの方が大きかつた。



(a)



(b)

## オ2.4図

(e). 実験結果の検討 以上四つの実験結果を、高調波はマイクロ波放電から発生するのではないとの立場に立って検討してみる。

(a)の結果から磁電管の高調波はマイクロ波放電を行わせたときに検知できる高調波電力の  $1/50$  以下であることが分る。磁電管から高調波を大きく取出すにはかなりの技術を要し、個々の磁電管によりまた操作する人により、その出力に相当大きな差異があるといわれている。したがつて(b)の実験結果は、磁電管の操作技術がまづいため、それから高調波を大きく取出すことができず、放電を介して磁電管の共振条件を微細に調節して高調波を大きく取出したのであると解釈しなければならない。放電管の反射波が磁電管に入れば、それによつて共振状態に相当の影響を受けることは事実だからである。しかし

(b)の結果をみると、磁電管に帰つてくる反射波は、その出力の  $2/10,000$  程度であり、このようにわずかの電力で磁電管の共振状態が大きく変化することは考えられるが、假にそのようなことが起つたとしても、オ2.4図を見れば分るように、気圧変化により放電からの反射波の量は大きく変化しているが、磁電管に入る反射波は殆ど変化せず、しかも高調波出力は大きく変化している。この現象を解釈するためには、気圧変化により放電状態が変化して、高調波が放電キャビティを通過する際の透過係数が変化するか、あるいは放電部で高調波が増幅せられ、その増幅度が気圧変化により大きく変化するか(この場合は高調波の発生源は放電であることになる)のいずれかであると考えなければならない。

(c)の結果をみれば、放電部で増幅現象が簡単に起るとは考えられない。(起らなければ云えない)。うまい条件をあめれば起るのではないかと考えられるが、比の実験範囲では起ることができなかつた。また(d)の結果をみれば、磁電管からのオミ調波が遮断されているにも拘らず放電キャビティから先でオミ調波を検知できるので、先に述べた高調波の透過係数が変化して云々といふ解釈も全然成立しなくなつる。したがつて高調波の発生源はマイクロ波放電以外にはあり得ないことを示している。またフイルタを挿入したときの方がむしろ高調波出力が大きくなる。

つたことも、次の如きに解釈すれば当然のことと思はれる。すなはち、放電キャビティで発生した高調波は受信側と磁電管側とに分れて進行し、磁電管側に向って進行してエネルギーは、フィルタがなければ磁電管の中で一部消費せられるわけであるが、フィルタを挿入することによりそこで反射されるので、受信側に進行した電波とこの反射波との位相関係が適当であれば、受信側で検知できる高調波電力はフィルタを挿入しないときよりも大きくなる筈である。

以上の検討により、これらの高調波の主たる発生源が磁電管であるとする初の假定が誤りであることは疑う余地がなく、マイクロ波放電から発生しているものと考えざるを得ないのである。

### 5.2.4. 結論

今迄の実験により、適當な条件の下では気中マイクロ波放電から入力の高調波が発生することが分った。その出力に影響する要素を整理すると、

放電により形成せられるプラズマの特性に関する要素

- i). 気圧
- ii). 気体の種類
- iii). 電界の強さ

電界の強さに関する要素

- i). 放電ギャップの長さ
- ii). 入力
- iii). 同調スタブの調節
- iv). 電極およびその附近の形状、電極直径

高調波の育成取出しに関する要素

- i). 同調スタブの調節
- ii). 電極およびその附近の形状

その他（例えば、低周波電圧の重ね合せ）

に分類することができる。又実験はしていながら磁場の重ね合せも大きく影響するものと思はれる。此の現象を周波数倍器として応用する面から考えると、

i). 入力容量が大きい。 ii). 高調波発生能率がクリスタルを用いた周波数倍器と同等若くはそれ以上である。 iii). 従来のものに比べて周波数変換部の寸法を格段に大きく出来る。 iv). 構造が簡単で、表面仕上げおよび工作精度を大して必要としない。 v). マイクロ波放電を利用するため電極の損傷がない。という長所を持っており、マイクロ波帶大電力用周波数倍器として優秀な性能を發揮する可能性がある。

### 参考文献

1. 植之原、升谷、稻田. 帯電学会東京支部大会(昭和30年1月), 稲田、升谷、植之原. 帯電三学会連合大会(昭和31年3月)  
升谷、植之原、稻田. 全上, 植之原、升谷、稻田. 帯電学会東京支部大会(昭和31年1月)
2. J. F. Ramsay I.R.E. Vol. 46, 405~415, (1958)
3. 植之原、升谷、稻田. 帯電四学会連合大会 (昭和32年4月)
4. 植之原、植之原、升谷、稻田. 帯電学会誌. Vol. 78, 898~907 (1958)
5. Millimeter Waves, M.R.I. Symposia Series Vol. IX, p. 652, Polytechnic Press

## 第3章 高調波出力に影響する要素<sup>(1)</sup>

### §.3.1. 緒言

§.2.2 dで述べたように、高調波出力に大きな影響を与える条件は、主として、気圧、放電ギャップの長さ、入力、同調スタブの調節、電極およびその附近の形状、電極の直径、気体の種類、低周波電圧の重畠合せなどである。此のうちで、同調スタブの調節、電極およびその附近の形状は、放電キャビティの形式に属するものであり、現在用いているものは單にこのような形式のものでも高調波が発生するに止り、又基本波の整合と高調波の整合とを切離せない実にむずかしいので、将来は色々な形式の中のものを考へ、実験によつてより能率の良いもの、より内部構造の考へ易いものと移行して行くべきものである。従つて現在の形のものについて此の二つの条件が高調波出力に及ぼす影響について詳しく調べてみても、あまり意味がないように思われる。電極直径と放電ギャップ長との影響については関連させながら調べた方が良いのであるが要素が多くなり過ぎるので電極直径は $\varnothing 1\text{ mm}$ に一定して調べることにする。又気体の種類による高調波発生の相異は、高調波発生構造を握るため手になりそうに思われるが、放電キャビティ及び真空系統を本格的に整備し、純粹な気体について実験出来る様にしなければ意味がないので此の次に回すことにする。従つて、こゝに於ては現在の装置を用いて、しかも定量的に取扱い易い要素即ち、気圧、放電ギャップ長、入力がオービア調波出力(オニ、オ四調波)についてはクリスタルの校正を行つてなかつたので行わなかつた)にいかなる影響を与えるかを調べることにする。

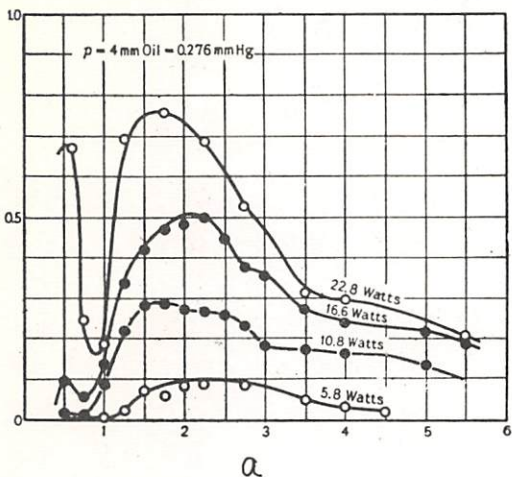
### §.3.2. 実験装置及び実験法

実験装置は§.2.2 図に示したのと同じであり、放電キャビティは§.2.3 図に示すものを用いた。

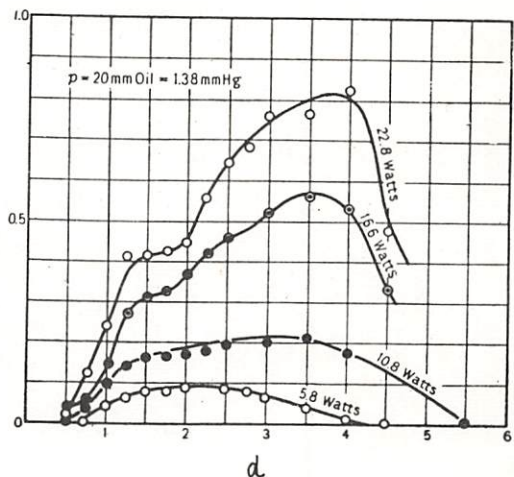
入力の周波数を一定に保ち、気圧、放電ギャップ長、入力の三つの条件を変え、各々の組合せに対してそのつど高調波出力が最大になるように同調スタブの調節を行つて測定した。実験装置は前にも述べた通り気密が良くないため、漏れと平衡させるように排気速度を調節して気圧を一定に保つように努力したが、油栓 $1\text{ mm}$ ぐらいの誤差は免れなかつた。これは気圧の高い方では大したことはないが、気圧の低い方ではその影響が大きいものと思われる。また同調スタブの調節も充分慎重に行つたつもりであるが、毎回理想的に行われていたとは保証し難い。したがつて充分満足できる結果は得られなかつたとしても、一般的に傾向は良く現われていると考える。

### §.3.3 放電ギヤップ長と出力

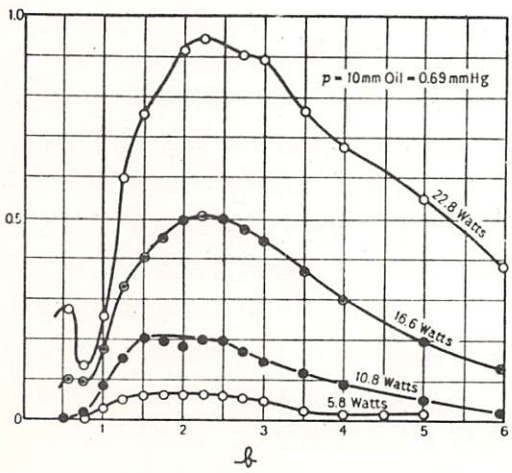
§.3.2の実験結果から、気圧を一定にし入力をパラメータとして、放電ギヤップの長さと高調波出力との関係を求めてみると図3.1図に示すようになる。



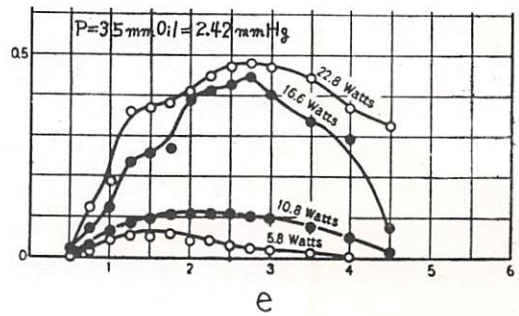
a



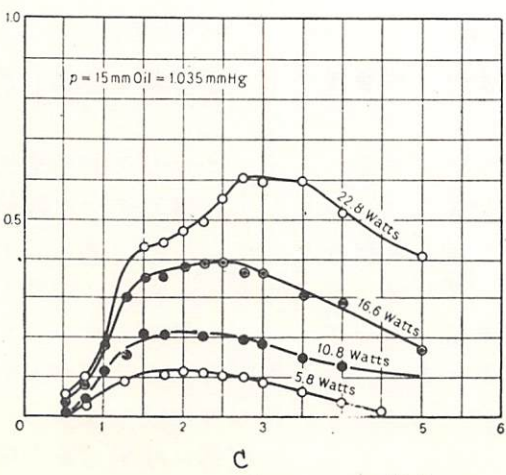
d



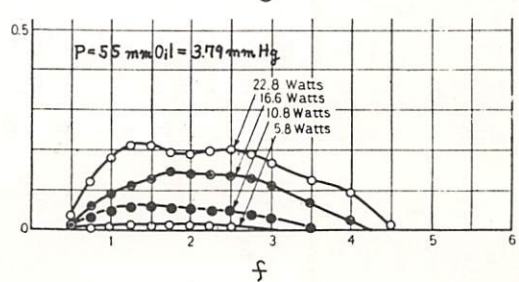
b



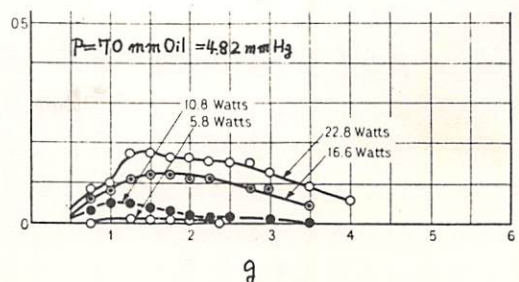
e



c



f



g

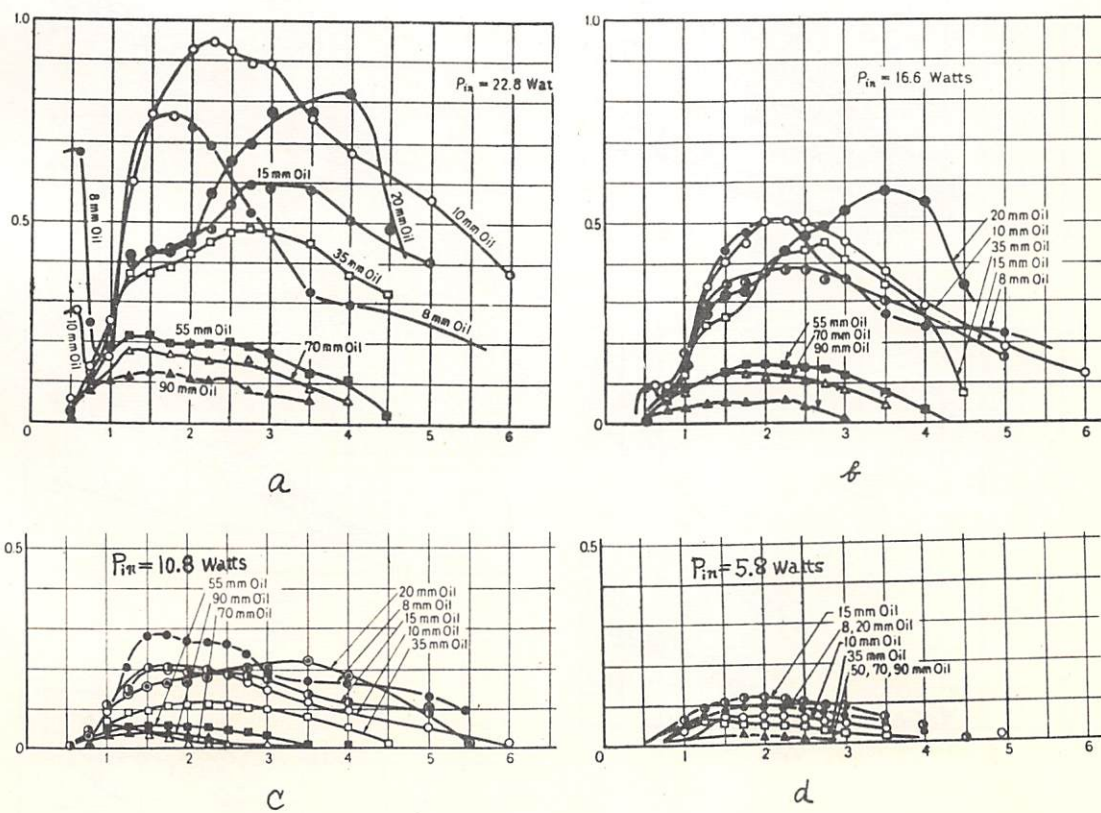
図3.1 図 ギヤップ長へオミ調波出力

横軸：ギヤップ長 (cm)

縦軸：オミ調波相対出力

一般に入力が大きくなると、出力最大になる放電ギヤップの長さは長くなっている。肉眼および写真撮影により(§.4.5参照)放電状態を観測した結果では、高調波が発生するためには、ある一定の放電状態において、その主要部の電子密度がある一定値以上にならなければ必要があるよう見受けられる。また電極間の主放電部の周囲には光の弱い放電部が存在するが、この部分が大きくなると高調波の発生は弱まるようである。入力が大きくなれば必要な電子密度を保ち得る放電ギヤップの長さは長くなりうるわけであり、逆に必要以上に放電ギヤップの長さを小さくすれば、周囲の光の弱い放電部を大きくすることになり、かえって高調波の発生を阻害する結果となつて、入力の大ささにより(気圧によつても異なるわけである)高調波出力が最大になる放電ギヤップの長さは長くなるのではないかと考えている。レカレオ3・1図(a), (d)において放電ギヤップの長さが0.6mm附近に出力のピークが現われていることは、上述のような簡単な考え方では説明しきれない興味ある現象であつて、高調波発生機構を考察する一つの手がかりになるのではないかと思つてゐる。

オ3・2図はオ3・1図を書き直し、入力を一定にし気圧をパラメータとしたときの、放電ギヤップの長さと高調波出力との関係を示したものである。

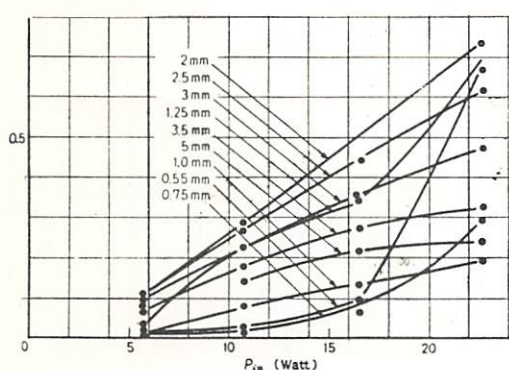


オ3.2図 ギヤップ長—オ三調波出力

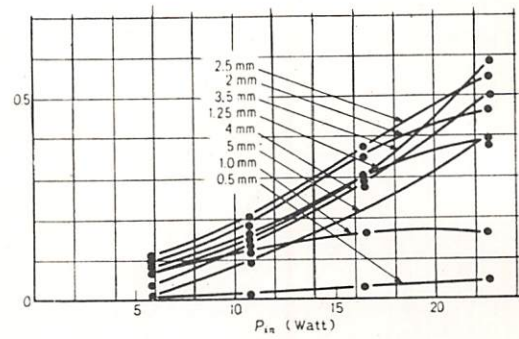
油柱 20 mm 以上の気圧では、一般に気圧が低くなるにしたがって高調波出力の最大になる放電ギャップの長さは長くなっている。気体の高調波放電電圧は  $p_e$  (気圧 × 放電ギャップの長さ),  $f_l$  (周波数 × 放電ギャップの長さ) によつて左右されること、なうびにマイクロ波放電かう、高調波が発生するためには、ある一定の放電物態と、ある電子密度が必要であるうしいことから考え合わせて、 $p_e$  が高調波出力最大の条件と密接な関係を持つと考えるのが自然であり、上述べの傾向はこのことの妥当さを示しているようである。しかし油柱 20 mm 以下の気圧では逆の傾向が認められる。この領域は高調波出力が最大になる重要な所であり、また気圧測定誤差が大きく影響する所であるので、さうに精密な実験ができるように装置を改良して、この領域の研究を行いうべきである。

### §. 3.4. 入力と出力

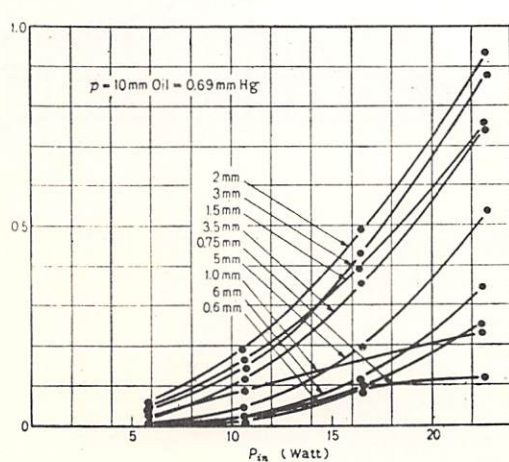
オ 3.3 図は気圧を一定にして放電ギャップの長さをパラメータとしたときの、入力と高調波出力との関係を示したものである。



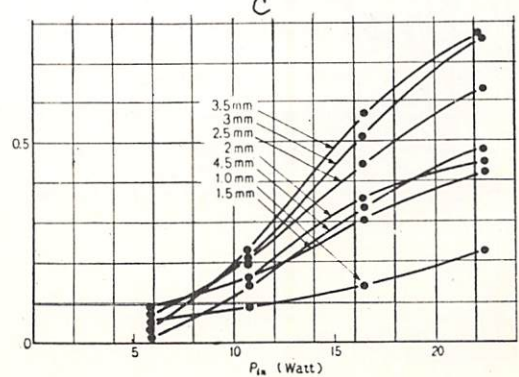
a



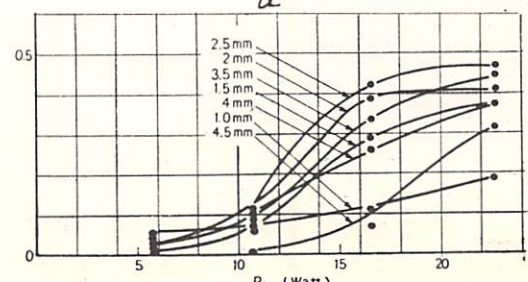
b



c



d

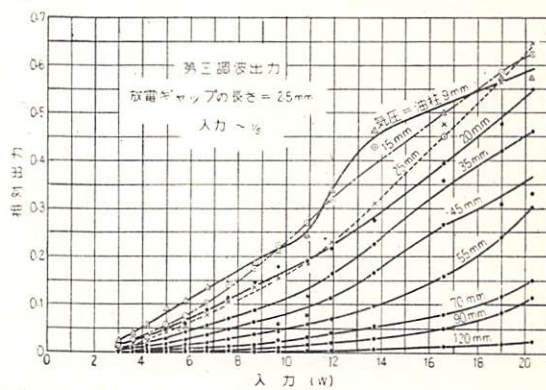


e

オ 3.3 図

図(6), (C) では、放電ギャップの長さが短いときに出力が飽和する傾向があるが、他の図では逆にギャップの長さが長いときに出力が飽和する傾向になつてゐる。しかし、高調波出力が最大になる気圧（油柱 20~9 mm）では、さうに大きな入力に対しても充分これに追随して高調波出力が増加することを示している。

オ3・3 図に示した入力と出力との関係は、測定のつど同調スタブの調節を行つてあるので、同調数倍倍率として実際に使用する場合の入力に対する高調波出力の直線的関係を調べることができない。そこで、放電ギャップの長さを一定 (2.5 mm) に保ち、同調スタブは入力 1kW のときオ三調波出力が最高になるように調節して固定しておいて、気圧をパラメータとして入力に対するオ三調波出力の変化を調べて見た。その結果がオ3・4 図に示されている。図から分かる通り相当な区間にわたつてはば直線の関係が存在する。たゞ油柱 9 mm の気圧の場合に若干不規則な変化をしてゐるが、この辺はオ3・5 図からも分かる通り、気圧のわずかな変化で出力が大きく変る所であり、又先にも述べたように、油柱 1 mm 程度の変動があつたので、これ以下の気圧の場合についてはさうに精密に調べる必要がある。



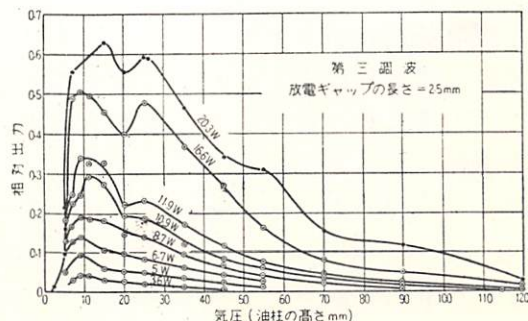
オ3.4 図

### §. 3.5. 気圧と出力

オ3・4 図を直線として、入力をパラメータとしたときの気圧によるオ三調波出力の変化を示したのがオ3・5 図である。

気圧が油柱 9 mm 見当よりも低いところでは急激に出力が低下していくが、出力の大きい所は気圧変化に対してあまり出力変化がなく使用上からは便利である。気圧は分子密度（衝突周波数と直接関係する）を表わしており、オ3・5 図の横軸は密度比を表す形にむしろ対数目盛にした方が考え易い。

油柱 20 mm の気圧の所に出力の谷が出来てゐるが、その左右の山が何を意味しているか、又そこを境にして左右で高調波発生機構に何らかの違があるのか、此の段階では全く不明であるが、高調波発生機構が解明されたにつれて分る：ござり、又逆に此の複雑現象が高調波発生機構解明の方向を与える手がかりになるものと思われる。



オ3.5 図

### §.3.6. 結 言

以上の研究から、一般的な傾向として、

- 1). 入力が大きくなるに従つて放電ギャップの長さは長くした方が良い。
- 2). 気圧が低くなるに従つて放電ギャップの長さは長くした方が良い。
- 3). 入力と出力とはほぼ比例すると考えてよろしい。
- 4). 基本波 3000 MC のときオ三調波出力の大きい気圧は、油柱 8 mm ~ 30 mm の間である。

といふことが分つた。2)は放電のし易さと関連しており、1)は高調波発生に与る電子密度の高いプラズマが周囲から劇然にして存在して、それを取巻く弱いプラズマが出来ただけのやうな放電物態が望ましいことを示しているようである。従つて放電ギャップの長さは放電ギャップ特に電極の形状によつて違つてくるやうなものであるが、上に述べた傾向は電極形状の如何に拘らず存在するものと思われる。高調波発生部のディメンジョンは、波長に比べて充分短い方が、その中の各部で発生する電波の位相を合せる上から好都合なわけであり、又放電のし易さはナレントも関係するので、基本波の周波数が増加するにしたがつて放電部のディメンジョンも小さくした方が良いと考えられる。

入力と出力の関係は、此の実験が高々 30 W 程度の入力までの実験であるので、略直線の関係を示しているのであつて、更に入力が増加すれば飽和する筈である。プラズマの電子密度で決定せられるプラズマ周波数が入力の周波数と等しくなければ、その中では入力の電波は侵入深さの程度しか入れず、入力を増してもプラズマ部の体積が横に広がるだけであり、残りの電力は反射せられるからである。又プラズマが横方向に拡がることは前に述べたように、高調波発生には望ましくないようであるからである。

高調波発生に都合の良い気圧は、主として入力周波数と、電子の衝突周波数との関係で決まる様に考えられる。此術では空気を用いたわけであるが、仮にこれが N<sub>2</sub>だけで構成せられてゐると考えて、油柱 15 mm = 1 mm Hg の場合の電子の衝突周波数を求めてみると、

電子の平均エネルギー = 1 eV のとき

$$P_c \doteq 30 \text{ cm}^{-1} (\text{mmHg})^{-1}, \nu_c \doteq 5.93 \times 10^9 \text{ Hz}, P_c \doteq 1.8 \times 10^9 \text{ sec}^{-1}$$

電子の平均エネルギー = 2.25 eV のとき

$$P_c \doteq 90 \text{ cm}^{-1} (\text{mmHg})^{-1}, \nu_c \doteq 5.93 \times 10^9 \text{ Hz}, P_c \doteq 8.1 \times 10^9 \text{ sec}^{-1}$$

$$\omega = 2\pi f \doteq 1.9 \times 10^{10} \text{ sec}^{-1} \quad \text{となる。}$$

但し  $P_c$  : 電子の衝突確率  $\nu_c = \frac{mv^2}{2e}$  で eV であらわした電子エネルギー  
n : 0°C のときの気圧

$\nu_c$  : 電子の衝突周波数  $f$  : 基本波の周波数

である。N<sub>2</sub>では、電子エネルギーが 1 eV から略 2.25 eV の範囲では、電子エネルギーの増加にしたがつて  $\nu_c$  は増加するが、それを越すと略 4 eV までは逆に

減少し、4 eV の時  $\nu_{c(4eV)} = 2\nu_{c(1eV)}$  となる。低周波放電の場合の電子の平均エネルギーは、大体 1 eV ~ 4 eV 程度と考えられていて、マイクロ波放電の場合もそれに倣つて、1 eV ~ 4 eV の範囲の衝突周波数を取上げておたわけであるが、大体  $\frac{\nu_0}{\omega} \approx \frac{1}{10} \sim \frac{1}{2}$

見当の所であり、 $\nu_0$  と  $\omega$  との関係から適当な気圧が決定せらるるのでないかとの疑を持つのは当然である。又別な考え方をすれば、マイクロ波放電から高調波が発生するのは、衝突による電子の速度変化が主役を演じているものと考えなければならぬ。衝突を考えないで高調波が発生することは考え難いからである。此の様な観点からみたとき、基本波の周波数が上昇に従つて、高調波の帯圧に都合の良い気圧は一般に上昇するものと予想せらる。

## 参考文献

- 植之原、植之原、舟谷、稻田。 電気学会誌 Vol. 78, 898 - 907 (1958)
- 武田 電気学会誌 Vol. 72, 753 - 756 (1952)

## 第4章 高調波発生機構の探求 その一

### §. 4.1 緒言

これまでの研究によって、マイクロ波放電から高調波が発生するることは、疑うべからざる事実として承認しなければならぬことになり、その工学的な利用にも希望が持てりようには、た。然しへ何所か依然としないものが残るのは筆者一人だけではないと思われる。それはその発生機構が分らぬいためであつて、あれだけの実験事実の前に一応は承認しながらも万一という疑を懷かせるのである。もともと此の現象は初めは仲々信用せられなかつたのであり、例えは、§. 2.2 近の実験事実をあげて S.C. Brown 氏に批判を求めてとうには、私はマイクロ波放電から高調波を取出そうと試みた人を沢山知つてゐるが、その何れもが失敗に帰している。その称に簡単に高調波が取出せると考へられない。実験装置の不完全さにより、あくまでも高調波が発生したかの如く見誤つたのではないか、更に慎重な実験が望ましい。」と、むしろマイクロ波放電から高調波が発生するとは考へ難いという態度であった。§. 2.3 の研究は此の批判に応えるためになされたのである。次に §. 3 章近の実験事実をあげて、ベル電話研究所の放電およびマイクロ波関係の研究者達に批判を求めてところ、我々は之等の実験結果を慎重に検討し討議した。その結果、マイクロ波放電から高調波が発生するという現象を承認せざるを得ないと結論に達した。そして、それは我々の未知の機構によるものであると考えられる。」との答を得て、始めて外国にも此の事実を承認する人達が現れたのである。

この称に、それ近の知識を以つてしては、どの称を機構で高調波が発生するかといふことを、簡単に推察出来なかつたのであり、それは又、マイクロ波放電の歴史が浅く漸く緒につき始めたのが 1946 年頃<sup>(2)</sup>からで、それも、放電開始電圧の研究とか、マイクロ波放電あるいはマイクロ波を用いた放電の基礎量の再測定とかに主力が向けてられており、マイクロ波放電に伴う諸種の現象の研究には及んでいなかつた、という背景によるのである。

従つて、先づ問題はその機構の解明にあるのである。周波数倍器として用ひて短ミリ波、サブミリ波の発生を目指す工学的利用も重要ではあるが、基礎を確立することが工学的進歩を促進する所以であるので、先づ高調波発生機構の探求から始めることにする。

### §. 4.2 探究の方針

前節に述べたように、此の現象を直ちに説明できるような理論的著作も実験的報告も見当らないのである。全く未知の分野の探究であり、解決の緒を何所に見出しうら良いかも分らぬ状態である。そこで先づ どの称を向かう、どの

称な態度で研究を進めてゆくか、という方針を決めてかかる必要がある。

高調波が発生するということは、巨視的な見方をして場合、「マイクロ波放電で形成せられたプラズマが、非直線素子として働いてる」ということである。これに関連して直ちに想起せられるのは、低周波グロー放電に於ける電圧～電流特性の非直線性である。そして、このことを取上げてマイクロ波放電も非直線性を持つのが当然であり、それから高調波が発生するのは理の当然であるとする人も多いのである。然し低周波の場合の非直線性は、電極近傍の空間電荷が主役を演じて生じるものであって、プラズマに近い状態にあると考えられている陽光柱部は、非直線性とは一應無関係であると考えられて居である。一方マイクロ波放電で形成せられるものは、放電によって形成せられるプラズマの中では、現在最も理想的なプラズマに近いものと考えられている。然も低周波放電の場合とは異り、電極近傍その他のプラズマで満たされているのであって、低周波放電の非直線性からの類推は許されないのである。

然らばマイクロ波放電によって形成せられるプラズマが、どの様な構造によつて非直線性を帯びるに到るのであろうか。これはその構造に特有の現象であるのか。あるいは他の方法によって作られた通常なプラズマに、イオン化をそれ以上進行せしめない程度の適当なマイクロ波電界を印加しても起り得る現象であろうか。

此等の更を解明してゆくに當り、実験によつて次第にその本領に迫ることにし氣体運動論的に解説して非直線性を見出すことには手を染めないこととする。実験事実の集積なくして徒々に理論解説を急げば、往々にして誤り結論を引出す結果になることがあり、又この現象が物理的に興味あるものであれば遠かう少し理説解説に着手する人も現れる筈であり、その場合に、集積された実験事実は解説の方向を正しく保持する道しるべとなる筈であるからである。

そこで研究の方針として、先づ

- i). 此の現象と何うかの関係がありうると思われる既知の理説及び実験事実を整理検討して見る。
  - ii). 次に、放電の特性を各方面から調べて、高調波発生構造と関係する事項を外周から次第に絞り上げて行く。
  - iii). 更に純粹気体を用い、気体の種類を変えることにより、マイクロ波放電で形成せられたプラズマ或はそれを構成する気体分子の如何なる物理量が非直線性を本質的に支配しているか、そのような物理量を見究めること。
  - iv). 之等の実験事実の集積をもとにし、簡単なモデルを設定して高調波発生の説明を試みる。
- と、いう方針をとることにする。

### §. 4.3 既知の事項の整理

#### (a) 理論的事項

(I) H. Margenau 氏及び L.M. Hartman 氏<sup>(4)</sup>はイオン化を起し得る程度に強い高

周波電界  $E \cos \omega t$  が気体に加えられたときの電子の速度分布を論じており、速度分布函数を次の形に展開した方がより一般的であるとして理論を進めていく。  
即ち、

$$f(\alpha, v, t) = \sum_{l=0}^{\infty} P_l(\alpha) \left\{ f_0^l(v) + \sum_{m=1}^{\infty} [f_m^l(v) \cos \omega t + g_m^l(v) \sin \omega t] \right\} \quad (4.1)$$

但し、

$v$ : 電子速度	$v_x$ : 電子の電界方向 ( $x$ 方向) の速度成分
$t$ : 時間	$\omega$ : 外部電界の角周波数
$\alpha$ : $v_x/v$	$P_l$ : $l$ 次のルジアンドルの多項式

である。そしてこのことから電流密度は

$$I_x = \frac{4}{3} \pi e \int_0^\infty \left\{ f_0' + \sum_m (f_m' \cos m \omega t + g_m' \sin m \omega t) \right\} v^3 dv \quad (4.2)$$

となるとしている。此の計算は高周波放電を出来ただけ散電に扱おうとの意図の下になされているので、始めから分布函数に高調波項まで含めているのであるが、残念ながら彼等は高調波を発生せしめることには関心を持たなかつたので、高調波項の係数の計算がなされていない。従ってこの計算からは、高調波項の係数を決定するのが如何なる要素であり、如何なる機構で高調波が発生するかを知ることは出来ない。高調波発生に注目した人はない様に思われるが然し観察をそこにおいて此の計算をみれば、彼等の計算を拡張して高調波項の係数の計算を行うことにより直ちに高調波発生の本質に迫り得るわけである。ただその際どの様な物理量が高調波発生を本質的に支配しているかを実験的に知つておく必要があると思われる。

もう一つの見方として、(4.1)式の速度分布に入力の高調波分があることから、何等かの方法で  $\sum_{l=0}^{\infty} P_l(\alpha) f_m^l(v)$ ,  $\sum_{l=0}^{\infty} P_l(\alpha) g_m^l(v)$  を大きくすることが出来たなら、それが  $m$  次高調波と同じ周波数で速度分布の或る成分が変化し、しかもそれに与る電子数が多い事を示すことになる。これは  $m$  次高調波が発生するように、電子が密度変調を受ける可能性を暗示しているのではないかかうか。

(2). H. Margenau 氏はその 1946 年の論文<sup>(5)</sup>に於て、プラズマに  $E \cos \omega t$  なる弱い高周波電界が印加せられた時、電界が弱いことから電子の速度分布函数の高調波項を省略して、

$$f(v) = f_0(v) + \gamma v_x [f_1(v) \cos \omega t + g_1(v) \sin \omega t] \quad (4.3)$$

となるとして、プラズマの高周波導電率が

$$\sigma = \frac{8}{3\sqrt{\pi}} \frac{e^2 n}{m} \left[ \int_0^\infty \frac{v(u) u^4 \exp(-u^2) du}{w^2 + v^2(u)} - i w \int_0^\infty \frac{u^4 \exp(-u^2) du}{w^2 + v^2(u)} \right] \quad (4.4)$$

となることを示している。

但し、

$$\tau := \frac{eE}{m}$$

$n$ : 電子密度

$v$ : 電子速度

$T_e$ : 電子温度

$v_x$ : 電子の電界方向( $x$ 方向)速度成分

である。

此の式に於いて衝突周波数 $\nu$ が電子速度即ち $v$ によって変わらないとする。

$$\sigma = \frac{e^2 n}{m} \left[ \frac{\nu - i\omega}{\omega^2 + \nu^2} \right] = \sigma_{\text{real}} - i\sigma_{\text{ima}} \quad \dots \quad (4.5)$$

となり、プラズマの電子密度及び衝突周波数をマイクロ波測定する場合に現在広く用いられる式になるわけである。

此等の式に於ける電子密度 $n$ は、プラズマの微少体積素のそれを指しているのであるが、相当広い領域に亘りそれが一様であるとすると、電子密度 $n$ が印加電界の周期で時間的に変化するとは考えられない。避離電子の平均寿命は  $\tau = \lambda/vG$  で表わされ、(ここで $\lambda$ は電子の平均自由行程、 $v$ は電子速度、 $G$ は電子の附着確率)、空気中では  $0^\circ\text{C}$ ,  $1\text{mmHg}$ ,  $0.1\text{eV}$  のとき  $\tau = 3 \times 10^{-4}\text{sec}$ . 程度である。<sup>(6)</sup>これを仮に  $3000\text{MC}$  の 1 周期と比較したときは相当強い電界中でも電子の寿命は比較にならない位長く、マイクロ波放電では、たん生じた電子はなかなか消滅せず、電子密度は或定常状態に一定に保たれるものと考えられるからである。従て  $\nu$  が電子速度によつて変らないと仮定した(4.5)式からは、非直線性は考えられないわけである。然し(4.4)式に於て、若し電子エネルギーが入力の周波数と或る一定の関係で変化する様なことがあれば、 $\nu$  は時間の函数となり、更に $\nu$  が $\nu$  の函数であれば、(4.4)式の積分は各瞬間にについての積分であるので、複素導電率 $\sigma$ が時間の函数となる。即ち非直線性を示すことが予想せられる。

電子密度 $n$ について、 $n$  が時間的に変化しないことを仮定したが、何等かの機構によつて密度変調でも起るとしに、全体の平均密度は不変であるとしても、プラズマの中では時間と場所によつて電子密度が変化するわけであつて、此の場合には前に述べた如きの簡単な考え方とは出来ないわけである。

\* 註 (4.4)式は参考論文(5)の 511 頁の(25)式、即ち高周波電流 $I$ が

$$I = \frac{4\pi}{3} e \sigma \int_0^\infty f_1 (\cos \omega t + \frac{\pi \omega}{v} \sin \omega t) v^4 dv$$

で表わされる。これに

$$\tau = \frac{eE}{m}$$

$$\nu = v/\lambda$$

$$\lambda = \frac{1}{2} m v^2$$

$$U = (m/2\pi k T_e)^{1/2} v$$

$$f_1 = \frac{\pi m v}{(v^2 + \omega^2 \lambda^2) \pi k T_e} f_0 \quad (27) \text{ 式}$$

$$f_0 = A e^{-\nu/k T_e} \quad \} \quad (26) \text{ 式}$$

$$A = n (m/2\pi k T_e)^{1/2}$$

を代入し、 $\sigma = I/E$  とすれば求められる。もとの論文に於いては(27)式として

$$f_1 = \frac{\lambda m v}{v^2 + w^2 \lambda^2} f_0$$

としてあるが

$$f_1 = -\frac{\lambda}{v^2 + w^2 \lambda^2} \frac{\partial f_0}{\partial v} \quad (14) \text{式}$$

から考えて、

$$f_1 = \frac{\lambda m v}{(v^2 + w^2 \lambda^2) R T_e} f_0$$

となるべきであり、ミスプリントと思われる。

(3). 本多氏<sup>(7)</sup>、山本氏<sup>(8)</sup>、L. Gould 氏<sup>(9)</sup>等は、高周波放電の場合に電子の平均エネルギーが、入力の二倍の周波数で変化することを示している。此の事は平均電子の速度が入力の周波数で変化することを考えれば当然であるが(2)に述べた所と考え合せると、衝突周波数 $\nu$ が電子速度の函数でありさえすれば、非直線性が考えられるわけである。

### (b) 実験事実

オ2章に述べた実験の他には見当らない。

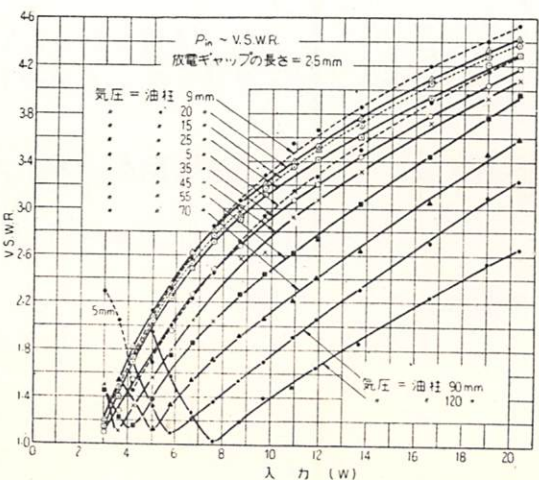
## §. 4.4 放電のインピーダンス<sup>(10)</sup>

気圧、入力により高調波出力が変化することはオ2章に述べた。そこで此の二つの要素により放電のインピーダンスがどの様に変化するかを知ておくことは大切なことである。オ3.4図を求める実験に於いて、毎回放電キメビティの手前でT.S.W.R.を測定し、定在波の電圧最小点の位置(放電していないときの電圧最小点の位置は最初に測定しておいた)を測定してあつたので、それを整理して以下の結果を得た。

### (a) 気圧、入力によるT.S.W.R. の変化

気圧をパラメータとしたときの入力に対するT.S.W.R.の変化をオ4.1図に示す。気圧一定の場合には入力が減少するに従ってT.S.W.R.は1に近づき、さらに入力が減少すると急激に増加する。また気圧が高いほど、T.S.W.R.が極小になる入力は大きい。

放電キメビティから光では、入力(基本波)は遮断されるので、T.S.W.R. = 1<sup>2</sup>とすれば察知のとおり入力の  $4I/(1+r)^2$



オ4.1図

は放電によって消費せられるわけである。オ4.1図は、他の條件が同じであれば、放電に最もよく吸收せられる入力の大きさは気圧によって異り、気圧が高いほどその入力が大きいことを示している。

オ3.5図と対照してみたとき、気圧一定のとき高調波が発生するために必要な最小入力と、T, S, W.R.が最小になる入力とがほぼ等しくなっている。以上二つのことは入力の角周波数Wと衝突周波数レヒの兼合いが、高調波発生と関係ありそうなことを示していふようである。

入力一定の場合に、各気圧の曲線のY最小より右側、即ち高調波の発生している場合を対象として調べてみると、気圧が低下するに従って、T, S, W.R.が増加しているが、油柱15mmの気圧で若干減少し、そこから再び増加して油柱9mm附近で極大となり、さらに気圧が低下すると逆に急激に減少している。この変化の有様をオ3.5図と対応してみると、入力20W位のとき油柱20mmの気圧で高調波出力に谷があり、油柱15mmで出力は極大になっている。また一般に油柱9mmよりも気圧が低くなると高調波出力は急激に減少している。これと類似のことはオ3.2図の場合にも見受けられたのである、オ3章にも述べたように、油柱20mmくらいの気圧を境にして、高調波発生に与る要素が少し変るのではないか、との疑が持たれるのである。

### (b). 気圧、入力による入カインピーダンスの変化

§.4.3(a),(2)に於て述べたように、マイクロ波放電の電子密度 $n$ は、気圧、入力の大きさおよび電極間の場所によって決り、電界の周期的な変化に追隨して変化する量は無視出来る程度のものであると考えられる。また(4.5)式のようにレを電子速度に無関係であると仮定すれば、マイクロ波放電の導電率 $\sigma$ は、入力の大きさおよび気圧によつて決まり、入力電界の周期的変化に追隨しては変化しない。もし電界の変化につれて、放電の導電率が相当大巾に変化するものであれば、オ4.1図に於いてT, S, W.R.の値がYに近い値をとるということはまず考えられない。従つて、§.4.4の始めに述べた測定結果を用ひて、スミス図表により計算すれば、気圧、入力の変化に対する入カインピーダンス(基準化インピーダンス) $Z = R + jX$ を求めることが出来る。

放電キャビティを1個のインピーダンスと考え(マイクロ波放電も含めて)入力を $P_i$ 、消費電力を $P_L$ で表わし、低周波回路と同様に考えると、

$$P_L = P_i 4R / (R+1)^2$$

$$T = |Z| \sqrt{P_L} / \sqrt{R}$$

$$I = T / |Z|$$

の式によりインピーダンスにかかる電圧およびそれに流れる電流に比例した量T、Iを考えることが出来る。勿論このT, Iは上にも述べた様に低周波回路と考えた場合のことであつて、これらがマイクロ波放電に於ける何を意味するかについて論じているわけではない。

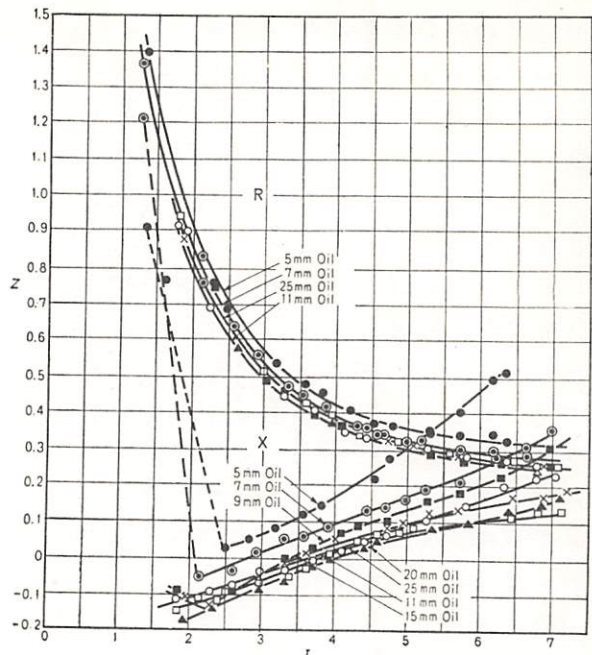
・気圧をパラメータとし、Iに対するRおよびXの変化の曲線はオ4.2図に示す

とおりである。一般に気圧の低下に従つてリアクタンス分は増加していくが、抵抗分は極小値を持つており、それ以上気圧が低下すると逆に抵抗値は増加する。これは(4.5)式に於て、

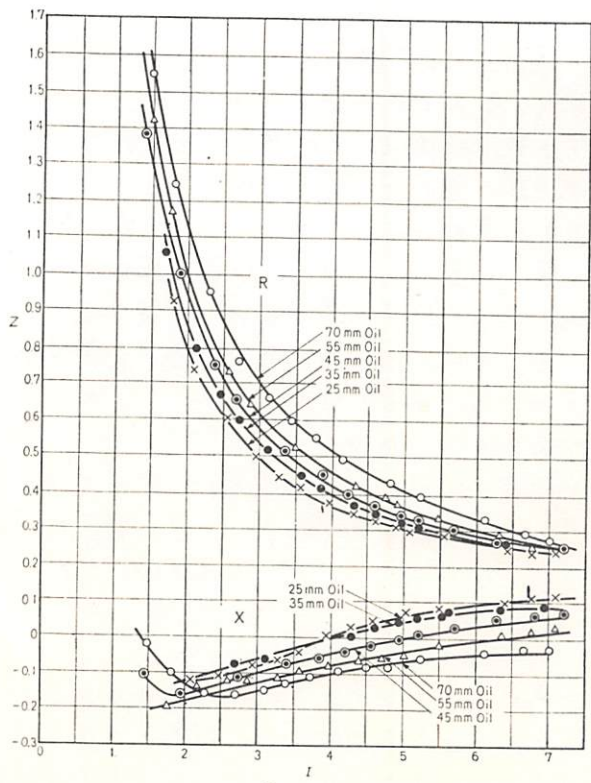
$\omega = \nu$  のときに導電率の実数部が極大値をもつことと傾向が良く一致している。ただ高調波出力が最大になる所の気圧(油柱 9 ~ 25 mm)では、I ~ R 曲線がほとんど一致し、しかも同一入力に対する最小の抵抗値を示していることである。高調波の次數によって最大出力の気圧が異なることは第2章に述べた通りである。若しも此の I ~ R 曲線が、クリスタルの特性を示す I ~ I (I ~ R) 曲線等と同じような意味を持つてゐるなら、此の辺の気圧では、気圧によって曲線の型に相当な差異が認められても良い筈である。此の様な考え方からすれば、此等の曲線が殆んど一致することは一見奇異に思われるが、これは第4.2 図がいわゆる非直線回路の特性曲線とは意味を異にしていいるのである。

此の測定は電力を基にしてゐるので、それから求められるものは電流の実効値に対応していき。假に電流によりプラズマの抵抗分が  $wt$  の函数  $r(wt)$  で変化したとすると、その中の一つの一周期の電力損失は

$$P_L = \int_0^{\frac{2\pi}{w}} (I_0 \sin \omega t)^2 r(wt) dt \\ = \frac{I_0^2}{w} \int_0^{2\pi} \sin^2 x r(x) dx$$



第4.2 図 a.



第4.2 図 b.

となる。今気圧により  $\gamma(x)$  の函数型が変り、同時に電力損失が変わらかを検討してみると、 $\gamma_1(x)$ 、 $\gamma_2(x)$  を夫々異なる気圧に対応させて、

$$\int_0^{2\pi} \sin^2 x \{ \gamma_1(x) - \gamma_2(x) \} dx = 0$$

を成立せしめる様な  $\gamma_1(x)$  や  $\gamma_2(x)$  が存在すれば、その様な抵抗変化は此の測定から見分けられないわけである。

$$\gamma_1(x) - \gamma_2(x) = f(x)$$

としたときに、 $f(x)$  が  $\sin^2 x$  の直交函数であれば上述の積分は零となるので、電力を基準にした測定法では、瞬時値に対する情報は一意的には得られないことが分かる。

マイクロ波電界の周期的な変化に対する電流変化の特性を測定できるなら、従来の非直線回路からの高調波発生理論を適用することも可能であろうが、その様な測定は殆んど不可能だと考えられる。然レモレその様な測定が可能であったとしたら、おそらく以下に述べる様な結果になるのではないかと考える。即ち“入力の大きさによって決まるインピーダンスを基準値として、入射波電界の周期的な変化に追随して、その基準値のごく近傍でインピーダンスが変化する。その変化の仕方は気圧によつて異なる。”

この様に考えると、高調波の発生する理由も、また高調波の次数によりその最大出力の気圧が変化することも理解出来る。従つて、高調波発生機構を調べるには、此前に述べたような、電力測定から非直線性に対する情報を探ろうとする方法では本質に迫ることは難しいものと考えられる。§.4.3 (A) (1), (2) 特に (1) に述べた Margenau 氏の取扱いのように、分布函数の時間的な変化を考えて、それから結論されるとこど現象との対応をつけながら考察して行く方法が良いと思われ方。

### (C). 気圧変化による $\Delta \sim I$ 特性の変化

前節の方法で  $\Delta$  を求め、 $\Delta \sim I$  の関係を気圧をパラメータとして表わすと、§.4.3 図の通りである。油柱 11 ~ 25 mm の間の気圧では大体同じような曲線である。油柱 55 mm 以下では、丁寧形の特性を示しており、あたかも低周波放電に於ける正規グロー放電の特性を思わせるものがある。高調波が発生するのは、大体丁寧形の底部中心よりも右側である。高調波が発生するには、單に放電しているだけではなく或る程度の電力即ち電界強度が必要で、それ以下の電界では能率が急激に低下することを示している。

## §. 4.5. 電子密度及び電子温度<sup>(n)</sup>

プラズマの性質を考える場合に、先づ知りたいことは、電子密度及び電子温度がどの程度であるかということである。マイクロ波放電で形成せられるプラズマの電子密度、電子温度を探針を用いて測定した例は、筆者の知る限りではまだ見当らない。また電子の速度分布は高周波電界によつて周期的に変化しているわけ

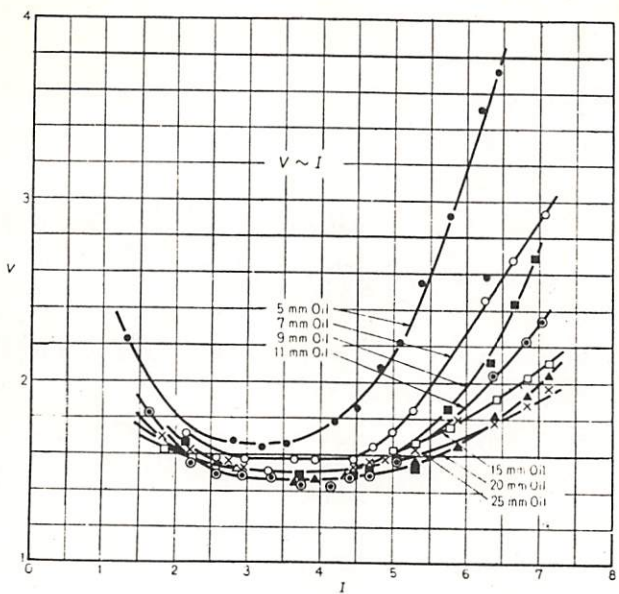


図 4.3 図 (a)

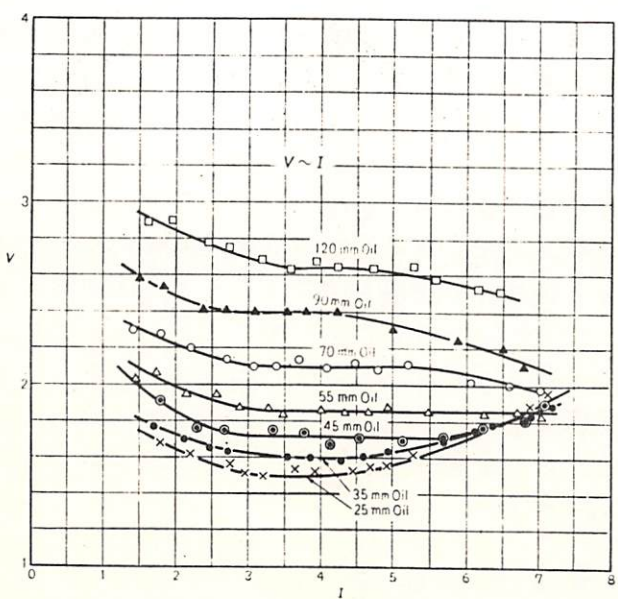


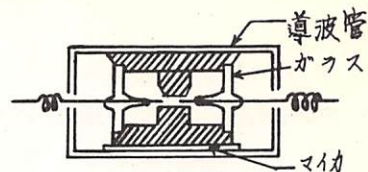
図 4.3 図 (b)

であり、その称はプラズマの電子温度とは何を指すかといふことも問題であるが、一応の目安として従来の測定法による結果だけでも知りたいものである。

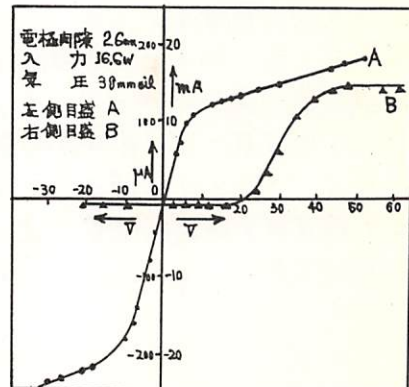
そこでオ4.4図に示す様に、放電ギヤビティのかラス円筒に直径0.7mmのモリブデン線を植込み、その先端2mmを残して他はガラスで被覆せられた探針を作った。先端間の距離は約6mmであり、高調波が発生する場合に強く放電している部分(オ4.6図参照)の情報を探れるようになっている。又探針及びそれから導波管外部への引出線は図に示す様に、導波管横断面内で上下の管壁と平行になつてるので、電気力線とは直角になつてゐると考えられる。従てこれら等の金属線の存在は、それが存在しない場合の電磁界分布を殆んど乱さないものと考えて差支えない。

先づ此の二本の探針を用ひ、之等がマイクロ波電界と直角に配置せられてゐることを利用して小島、高山氏<sup>(12)</sup>がE.O.Johnson及びL.Malter氏の複探針法<sup>(13)</sup>を用いて高周波放電の電子温度を測定したのに倣つて、電子温度を測定した。又その中の一本と、上部電極とを用いて、探針の面積比の非常に大きな複探針とし、之を単探針の称に考へて電子温度及び電子密度を測定してみた。それらの場合の探針の電圧～電流特性の一例がオ4.5図に示されている。図のAが前者によるものであり、Bが後者によるものである。求められた電子温度及び電子密度がオ4.1表に示されており、又電子密度に対応するプラズマ周波数も示されている。

探針測定は相当熟練を要し、又細かな点まで注意して行わなければ誤差を生ず



オ4.4図



オ4.5図

電圧 (mm oil)	入力 (watts)	電子温度 (°K)		電子密度 (cm⁻³)	プラズマ 周波数(%)
		A	B		
30	16.6	39000	47000	$11.4 \times 10^{10}$	$3.033 \times 10^9$
	10.8	41000	37000	$6.5 \times 10^{10}$	$2.29 \times 10^9$
	22.8	45000	55000	$16.0 \times 10^{10}$	$3.60 \times 10^9$
20	16.6	50000	52000	$11.9 \times 10^{10}$	$3.10 \times 10^9$
	10.8	51000	41000	$7.3 \times 10^{10}$	$2.43 \times 10^9$
	22.8	64000	60000	$13.0 \times 10^{10}$	$3.24 \times 10^9$
10	16.6	58000	58000	$12.4 \times 10^{10}$	$3.15 \times 10^9$
	10.8	59000	54000	$8.0 \times 10^{10}$	$2.50 \times 10^9$

オ4.1表

<sup>(15)</sup> ると云われている。此の測定には筆者は不慣があるので、測定誤差は相当あるものと覺悟しなければならない。そしてその点がオ4.1表の電子温度の測定結果に若干現われている。然しこの方法による電子温度の測定結果が大体一致しており、入力の増加、気圧の低下とともに電子温度が増加する傾向が明瞭に表われている。又入力の増加とともに電子密度が増加し、プラズマ周波数は入力周波数と略同じ称なる所にあることから考えて、大きな誤差はないものと考えてよいので、大体の値を知るという初期の目的は達せられたものと考えられる。

プラズマに電磁波が入射した場合、そのプラズマのプラズマ周波数が入射波の周波数より高くなると、電磁波はそのプラズマ内部に侵入出来ない。従ってマイクロ波放電の場合に於ても、それによって構成せられるプラズマの電子密度は、入射波の周波数とプラズマ周波数とが等しくなる所が限界であると考えがちである。然し、プラズマの侵入深さは金属等に比べて桁違いに大きいので、たとえプラズマ周波数が遮断周波数に達しても、相当深い所迄電磁波が侵入し、電子密度は遮断周波数以上まで上昇し得るわけである。此の点が入力22.8MHzのときに現われている。

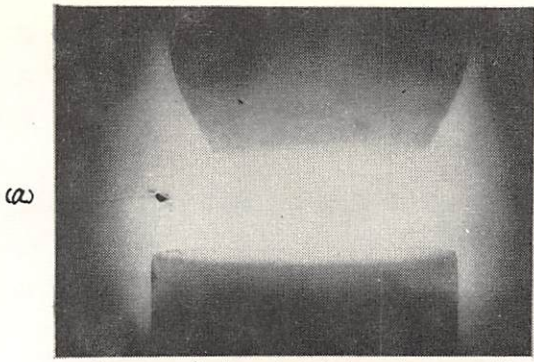
之等の測定から、プラズマ周波数は大体入力周波数の附近にあり、電子温度は40000°K～60000°Kであることがわかる。

### 3.4.6 低周波電圧の重ね合せ

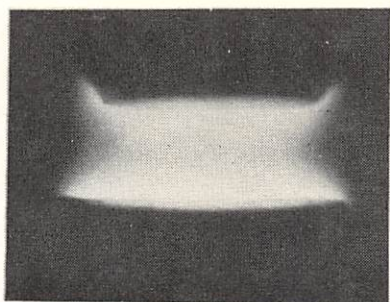
クリスタルを用いて周波数倍化を行う場合に、適当なバイアスをかけて用いれば、能率が良くなることは周知のことである。そしてマイクロ波放電から高調波を取出す場合にも、これと類似の現象が見られるることはオ2章に述べておいた。クリスタルを用いて行う場合のことは、その内部構造は別として、電圧～電流の非直線性から説明出来るにわけであるが、マイクロ波放電の場合にその様な電圧～電流特性を測定出来ないことは、3.4.4に述べた通りである。然しその反面、クリスタルの場合は、内部で如何なることが起っているかを、外部からの視察によって推察出来ないが、マイクロ波放電の場合は此の点に或る程度の希望がある。

そこで気圧を変え、低周波電圧を重ね合わせた場合とならざる場合とについて、オ三及びオ四調波出力を測りながら、その放電状態を撮影してみた。その結果の一例がオ4.6図の(a)～(h)に示されている。此の写真は拡大されたものであり、下部電極の端面の直径が10mmである。

(a)、(b)、(c)と気圧が上るに従って、放電領域が狭くなり、油柱6mmぐらいいの気圧で、(c)図のように放電領域の脇の所が瞬間にくじれると共にオ三調波が発生する。(a)、(b)図のようない放電状態では低周波電圧を重ね合せても高調波は発生しない。(c)図は、AC 50% 130ボルトを重ね合せたときの写真であり、50%の電圧を加えないときはオ三調波出力50マイクロアンペア、オ四調波出力零であるものが、50%の電圧を重ね合せたときはオ三、オ四調波出力が夫々26マイクロアンペア、零になることを示している。(d)図以下の記号も同様である。尚(c)図に於ては写真では明瞭でないが、電極表面に近く暗部が認められるのであって



(a)  
microwave discharge + AC (350V, 15mA) 4 coil  
 $P=0.9$  (熱電対型真空計目盛)  
3rd harmonic output = 0  
4th harmonic output = 0



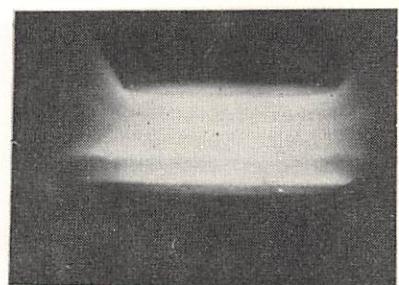
(e)

microwave discharge only  
 $P=18\text{mW}$  (熱電対)  
3rd harmonic output = 3  $\mu\text{A}$   
4th harmonic out put = 10.4  $\mu\text{A}$



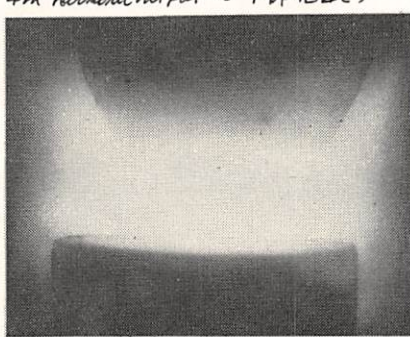
(b)

microwave discharge + DC (200V, 12mA) 5 coil  
 $P=0.9$  (熱電対型真空計目盛)  
3rd harmonic out put = 0 上部電極 (+)  
4th harmonic out put = 0 下部電極 (-)



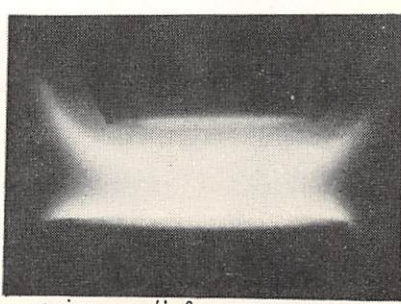
(f)

microwave discharge + AC (230V, 12mA)  
 $P=17\text{mW}$  (熱電対)  
3rd harmonic out put = 35  $\mu\text{A} \sim 4\text{mA}$   
4th harmonic out put = 11.8  $\mu\text{A} \sim 0.1\text{mA}$



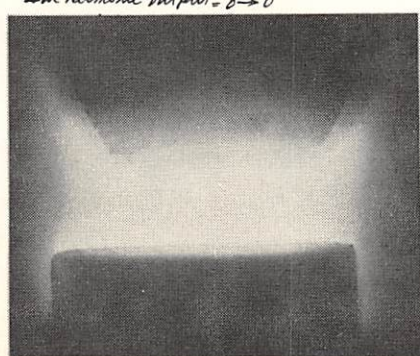
(c)

microwave discharge + AC (130V, 15mA)  
 $P=9\text{mW}$  (熱電対型真空計目盛) = 0.5  
3rd harmonic out put = 50  $\mu\text{A} \rightarrow 26\text{ } \mu\text{A}$   
4th harmonic out put = 0 → 0



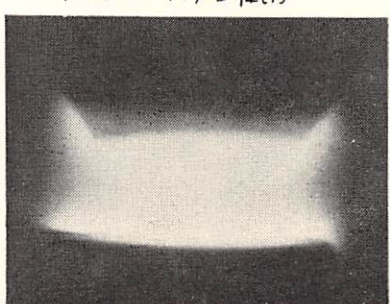
(g)

microwave discharge + DC (500V, 3.4mA)  
 $P=19\text{mW}$  (熱電対)  
3rd harmonic out put = 50mA → 0  
4th harmonic out put = 11.1mA → 1.1mA  
上部電極 (-) 下部電極 (+)



(d)

microwave discharge + DC (290V, 17.5mA)  
 $P=7$  (熱電対)  
3rd harmonic out put = 50mA over → 0  
上部電極 (-) 下部電極 (+)



(h)

microwave discharge + AC (18V, 5mA)  
 $P=18\text{mW}$  (熱電対)  
3rd harmonic out put = 33mA → 30mA (不規則)  
4th harmonic out put = 11.5mA → 4.5mA

† 4.6 図

更に電圧を増せば、(d)図のように此の暗部の巾が大きく明瞭になり、高調波は発生しなくなる。 (d)図は上部電極を負として直流電圧を重ね合せた場合の写真であるので、上部電極の近傍だけに暗部が認められるが、A.C.電圧を重ね合せたときは、両方の電極の近傍に暗部が認められる。

更に気圧を増せば、(e)図のように放電部の脇のくびれはより顕著になり、放電の明るさも増して、オミ、オ四調波ともに発生する。(e)とほぼ同じ状態のときに50%或は直流電圧を重ね合せたのが(f), (g)図であり、この様に高い電圧を重ね合せると高調波出力は減少するだけである。

(h)図は、(e)図とほぼ同じ状態であるが、たゞスタブの調節が悪くてオ四調波出力が少い場合に、50%の電圧をわづか重ね合せたときの状態であって、オ四調波はかえって増加している。この場合電極表面にはまだ暗部が形成せられていない(その巾が非常に薄くて、写真では判定出来ないかも知れない)ことに注目すべきである。

この暗部の巾は、一般に気圧及びマイクロ波入力の増加によって狭くなるが、低周波電圧を増せば広くなる。又上に述べたように陰極側に形成せられ、その境界が明瞭であることから、グロー放電に於ける陰極暗部(Cathode dark space, Hittorf dark space, Crooks dark space)であると思われる。更に詳細に観察すると、この暗部と電極との間には光の強い層が認められるが、陰極層(Cathode layer)ではないかと思われる。暗部と電極間を陰極降下部と考へると、電極間距離はそれと同じ程度であるので、マイクロ波放電と、低周波の阻止放電(Obstructed discharge)とが重ね合せられていると考えられる。

この実験から、高調波発生と関係する特徴的な傾向として、次に述べる三つのことが出てくる。即ち

(1). 放電領域が、電極の中間に横方向に膨れた様な状態では、高調波出力は非常に小さくなる。又は認められない。此の状態から、あたかもピンチの様な現象で、瞬間に、電極の中間に所の放電領域が中心に向ってくびれ込むと、高調波出力が急増する。

(2). 低周波電圧の重ね合せにより、暗部が明瞭に認められるようになると、高調波出力は激減する。

(3). 放電状態によつては、わづかな低周波電圧の重ね合せによつて、高調波出力が増加することがある。この場合には暗部は認められない。

といふ三つの傾向である。

(1)については、W.P. Allis 及び S.C. Brown 氏等の研究<sup>(16)</sup>から考えたとき、電極間の電子密度、電界強度、光の強さ等の分布はオム7図のようになるわけであり、放電領域が横に膨れている時は、その光の強さの状態から考えて電極間の最も電子密度の高い所でも、そのプラズマ周波数は高く遮断周波数に近いか又はそれ以下であると考へられる。放電領域にくびれが出来て、この場合は4.6 図(e)には、電極間の中間に光の薄い部分があることから考えて、その部分のプラズマ周波数はもはや遮断周波数に達しており、マイクロ波電界はそこよりも電極に近い部分

で強くなつてゐることが推察せられる。前者はオ 4.7 図の A に後者は B に対応してゐるわけである。この称な電子密度及びマイクロ波電界の分布の差異が、高調波発生にどの称な関係を持つのであらうか。早急な結論は望むべくもなく、又避けなければならぬが、高調波発生を支配する本質的な一つの要素であると考えておかなければならぬ。

(2)については、暗部は正イオンが圧倒的に多く、イオン鞘と考えられる。9.4.5 に述べた電子密度の場合にも、この暗部をイオン鞘と考へて測定を行つたのである。イオン鞘が形成せられると、それに包まれた電極はプラズマ部分からの電気的な影響に対して遮蔽せられたのに、高調波出力が激減するという解釈が出来る。又電子の運動から考へると、低周波電界による速い drift velocity に、マイクロ波電界による振動が重ね合せられることになるので、若し何らかの構造によつて、密度変調のようなことが起つて、これが高調波発生に寄与してゐるならば、低周波電界による drift velocity により、高調波発生に都合の良い位相関係にある電子も、次々と電極に取去られるために高調波出力が減少するといふことも考えられる。

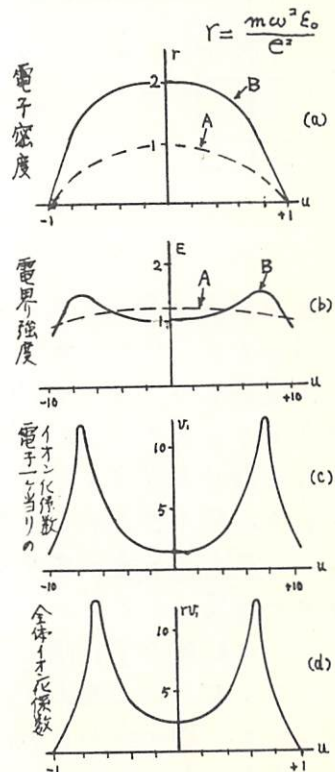
(3)については、電子の平均速度が低周波電界の重ね合せによって上昇し、このことが高調波発生に寄与してゐるのではないかと考えられる。

### 9.4.7 放電の整流特性<sup>(17)</sup>

プラズマが非直線素子として働くことにより、高調波が発生するのであれば、クリスタルの場合を考へ合せたとき、整流作用が起ることも考えられる。放電キメビティの電極は直流的に遮断せられてゐるので、整流作用の有無は、上下電極に直流電流計を接続することにより簡単に検知出来るわけである。

今迄に用いたのと同じ実験装置を用いて、電極間にマイクロ波放電を起させ、オシロスコープで高調波出力が最大になるように、気圧、放電ギャップ長、同調ステップを調節しておく。そこで、気圧を油柱 2 mm ぐらいから次第に増加せしめて、整流電流及びオシロスコープで高調波出力の変化を測定した。その結果の一例がオ 4.8 図に示されている。但し整流電流は、上部電極から外部回路に流れ出す方向を正としてある。

気圧が油柱 3 mm よりも低い時は正確な測定は行えないが、整流電流は大体図の破線で示した様に、気圧によりその方向と大きさを変えながら、気圧上昇に



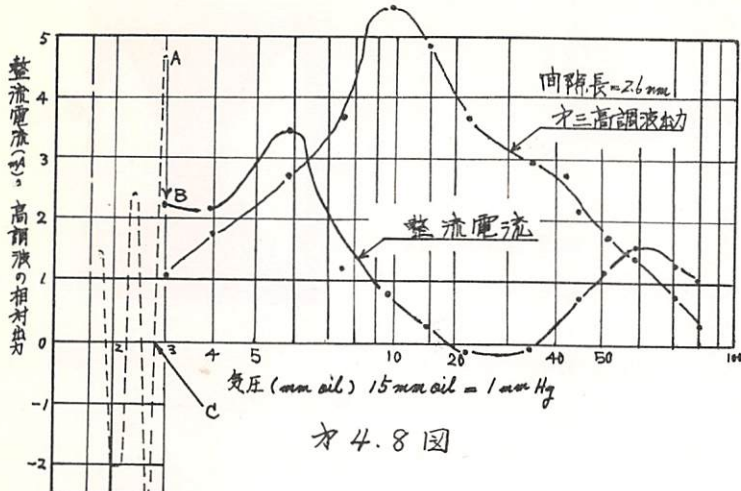


図 4.8 図

よりその最大電流は増加している。この場合の放電状態は図 4.6 図(a)の称な状態である。油柱 3 mm 見当の気圧になると、放電状態が突然図 4.6 図(c)の称に変化し、同時に整流電流も図 4.8 図の A → B のように急激に高調波の急激な発生をみるこことがある。但し入力及び同調ステップの調節によつては、上述のように急変を示すことなく、整流電流が負から正に変るとき(図 4.8 図の C 点)から次第に高調波が発生し始める場合もある。たゞ、B 点から右側の変化はほぼ同じ傾向である。

此の実験から、プラズマが非直線素子として働いていることは明らかであるが、直接触のクリスタルのように簡単な特性ではない。勿論気圧により放電状態も異り、非直線性も変化するわけであるから、複雑な現象を呈するであろうことは考えられる。然し B 点から左側は、整流作用はありながら高調波は殆んど発生していない。然もその整流電流の方向は日々に変化している。これはどの称な電子の動きから結果せられるのであろうか。

B 点から右側を見た場合、油柱 20 mm ぐらゐの気圧を境にして整流作用の原因が異なるのではないかと考えられる。此の気圧の附近では、§3.4 にも述べてあるように、高調波出力の谷が現われるわけであり、高調波発生の因子が異なるのではないかと考えられていてわけである。(4.5)式からみて、気圧の低い場合はリアクタンス分が主体となり、高い場合は抵抗分が主体となる。上に述べたことが非直線リアクタンス、非直線抵抗と関連を持つのであろうか。

### 3.4.8 緒言

本章に於ては、先づ高調波発生機構を探求して行く上での基本的な態度と方向を定め、その方針に従つて、オーナーに高周波放電に関する既知の理論的著作のうちから、高調波発生機構を説明する上で医療の深さなものを探し、H. Margenau 氏の 1946 年及び 1948 年の論文の重要性を指摘した。

次に今迄に用いていた実験装置を用いて、手つとり早く出来実験から始めて、放電の特性を各方面から調べ、高調波発生機構と関係する事項を外周から次第に絞り上げて、その構造探査の主たる方向を探ると共に、実験事実の集積を行つた。その結果放電のインピーダンスを測定する事では決定的な情報が得られないこと

が明らかとなり、Margenau氏の1948年の論文の拡張といふ解説的な仕事が構築発明上重要であり、実験的には、その解析上重要な據所となる単純な条件下の適当な実験が必要であるという方向が出て来た。

電子密度及び電子温度の測定結果から、電子温度は相当高く、電子密度はそのプラズマ周波数が入力周波数の近傍にあることが明らかとなつた。又放電状態の穿孔観察からも、電子密度が大体その附近にあることが推察せられ、電子密度及びマイクロ波電界の電界方向の分布が、高調波発生を支配する一つの重要な因子ではないに拘らずか、との重要な問題が発生した。

最後に放電の整流特性の観察から、此の高調波発生現象がそれほど単純な現象とは思われないが、プラズマの非直線リアクタンス及び非直線抵抗の両方に関係するのではないかとの疑いが出て来た。

この点に、高調波発生機構を大まかに推測出来る様な実験事実はだいぶ集積せられたわけであるが、あくまでも推測の範囲を出ないわけであつて、決定的な要素を抽出するには、より単純な条件で、むしろプラズマの構造的な点に關心を持った実験が行われなければならぬと考えられる。

## 参考文献

1. T.J. Read 博士よりの私信による
2. 例えは、M.A. Herlin & S.C. Brown. Phys. Rev. Vol. 74, 291~296, (1948)
3. 星合・本多. 気体中の放電 P.158 (昭11) オーム社
4. H. Margenau & L.M. Hartman. Phys. Rev. Vol. 73, 309~315, (1948)
5. H. Margenau. Phys. Rev. Vol. 69, 508~513, (1946)
6. 星合・本多 気体中の放電 P. 20 (昭11) オーム社
7. 本多・玉河 電気学会誌 Vol. 69, 47~50, (1949)
8. 山本・野畠 電気学会誌 Vol. 69, 256~257, (1949)
9. L. Gould & L. W. Roberts. J. App. Phys. Vol. 27, 1162~1170, (1956)
10. 植之原・植之原・升谷・稻田. 電気学会誌 Vol. 78, 898~907 (1958)
11. 植之原・升谷・稻田. 電気四学会連合大会(昭和34年4月)
12. Kojima & Takayama J. Phys. Soc. J. Vol. 5, 357~358 (1950)
13. E.O. Johnson & L. Malter Phys. Rev. Vol. 80, 58~68 (1950)
14. L.B. Loeb. Basic Processes of Gaseous Electronics, P. 329 Univ. of California Press, (1955)
15. Yamamoto & Okuda, J. Phys. Soc. J. Vol. 11, 57~68 (1956)  
全 上 Vol. 13, 1212~1223 (1958)
16. W.P. Allis, S.C. Brown & E. Everhart  
Technical Report NO. 210, Research Lab. of Electronics, M.I.T.
17. 植之原・升谷・稻田. 電気学会東京支部大会(昭和33年11月)

## 第 5 章 高調波発生機構の探求 その二

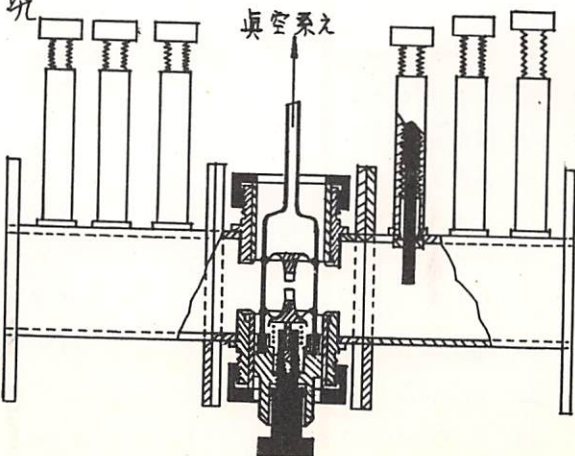
### § 5.1. 緒言

§ 4章に述べた研究の結果より單純な条件で、プラズマの本質的な点、即ち「マイクロ波放電で形成せられたプラズマ或はそれを構成する気体分子の、如何なる物理量が非直線性を本質的に支配しているか」という事に注目した実験を行う必要がある事が分ってきた。これ迄の実験で条件としても複雑であるのは、空気中で放電を行わせたと云う点である。空気の様な複雑な混合気体を用いたのである。上に述べた様な事は分り難い。そこで各種の純粹気体を用いて実験を行い、気体による高調波出力の相違と、それ等の気体についての既知の物理量との対応により、高調波発生を本質的に支配している(材料の面から)のが、Ramsauer効果と云われているものである事が明かとなつた。そこで此の事を取上げて、(4.5)式について検討を行、プラズマのインピーダンスが非直線性を帯びる事を物理的に説明した。又平均電子をモデルとして取り上げて、その運動方程式が非線形の微分方程式となることから、プラズマのインピーダンスの非直線性を説明した。

### § 5.2. 純粹気体による研究

#### (a) 実験装置

放電部分の気密を良くする為に、  
3000 Mc 帶の切換管 1B27 を、オ  
5.1 図に示す様に、導波管にマウントして放電キャビティとし、排気系  
を充分に整備して  $10^{-6} \text{ mm Hg}$  程度迄直  
空度を上げられる様にした。



第 5.1 図 放電キャビティ

#### (b) 実験方法

先づ  $10^{-6} \text{ mm Hg}$  程度迄排気し、所望の気体を適当な圧力で放電部に充填し、マイクロ波放電を行わせる。放電による温度上昇で電極吸収ガスを放出せしめ、再び  $10^{-6} \text{ mm Hg}$  程度迄排気してから実験する気体を適当な圧力で充填した。実験方法は今迄とは同じであるが、放電開始を容易にする為に、1B27 から排気系へ行く所を、テスラコイルで刺載して、気体をイオン化させた。そこでマイクロ波電力を送り、放電ギャップ長、ステップの調節を行ってマイクロ波放電を行わせ、更に § 6.3 に述べる様な方法で、上下電極の端面に設けられた凹部で形成せられる小さなキャビティ中に、放電を集中せしめ、外からは上下電極のわずかな隙間に

ら光が見える様な状態にする。その上で更に気圧、放電ギャップ長、スタブの調節をして、オニ高調波の最大出力を求めた。又始めのころは、放電部と排気系との間に、液体窒素で冷却したトラップを二段設けて、排気系から不純物が混入するのを防いだが、それが顕著な影響はないと思ったので、途中からは冷却することを止めた。

### C) 実験結果と気体の物理量との対応

上述の様にして、 $H_2$ ,  $He$ ,  $N_2$ ,  $Ne$ ,  $A$ について実験し、各気体についてのオニ高調波最大出力(入力30W)として、オ5.1表に示す様な値を得た。但し  $Ne$  の場合はスペッタが甚しくて実験を中止したので、最大値は求められなかつた。

オ2章に述べた実験では、気体の種類によって高調波出力に差違があるらしいとは考えていたが、気密が悪かったので、これほどの差があるとは気づかなかつた。気体によってこの様に大きな差が出来るのは、一体気体のどの様な性質によるのであろうか。そこで、オ2調波出力の順位を  $H_2$ ,  $He$ ,  $A$ ,  $N_2$ , と並べ、之等の気体の既知の物理量が此の順位にあるものを探した結果、Ramsauer効果による  $\frac{dP}{dV}$  (Eは衝突確率、Vは電子速度) が此順位にあることが分った。電子速度として1eVの時の速度をとり、 $H_2$  の  $\frac{dP}{dV}$  を基準としてそれを1とした時の  $\frac{dP}{dV}$  の値、及びオニ調波出力を  $(\frac{dP}{dV})^{\frac{1}{2}}$  で割った値を、同様に  $H_2$  の場合を基準として表わしたもののがオ5.1表に示してある。

気体の種類	オニ調波出力	$\frac{dP}{dV}$	オニ調波出力/ $\frac{dP}{dV}$
$H_2$	20 mW	÷ 1	1
$He$	31 mW	÷ 2.5	1
$A$	115 mW	÷ 2.5	1.1
$N_2$	313 mW	÷ 180	1.1

オ5.1表

このことは、マイクロ波電界が強くなると、(4.4), (4.5)式の様な取扱は許されなくなり、マイクロ波電界の周期的な変化による電子速度変化を考え、電子速度による衝突確率の変化から衝突周波数が変り、これが原因に因ってアラズマのインピーダンスが周期的に変化することを物語っている。オニ調波出力を  $(\frac{dP}{dV})^{\frac{1}{2}}$  で割った値が殆ど一致することも非常に興味ある事であり、これは高調波電流計算により求められゝは説明出来る性質のものである。

### §. 5.3. 高調波発生機構の物理的説明

前節の実験結果に留意しながら、Margenau 氏の計算結果(4.4)式、

$$\delta = \left[ \frac{8}{3\pi} \cdot \frac{e^2}{m} \right] [n] \left[ \int_0^\infty \frac{\nu(u) u^4 \exp(-u)^2}{\omega^2 + \nu^2(u)} du - i\omega \int_0^\infty \frac{u^4 \exp(-u)^2}{\omega^2 + \nu^2(u)} du \right] \quad \dots \quad (4.4)$$

但し  $u = \left( \frac{m}{2kT_e} \right)^{\frac{1}{2}} v$ ,  $v$  = 電子速度

を検討し直してみる事にする。

此の式は、電子温度  $T_e$  のプラズマに弱い電磁波が作用する時の事を論じたのであって、電磁波による平均電子速度、即ち電子温度の周期的な変化は無視する立場を取っている。従って、電子速度によつて衝突周波数  $\nu$  が変化しない様な気体と於ては、(4.5)式の様な普通に用いられてゐるプラズマの導電率の式が出て来るわけである。又電子速度により衝突周波数  $\nu$  が変化する気体に於ても、積分値が變るだけであつて、積分値に時間の項は現われず、導電率  $\delta$  は時間により変化しない、即ち非直線性を帯びないと言つ結論になる。此の様な取扱は、(4.4)式を導くオ一次階に於て、電子の速度分布函数の展開を基本波で止めた時に既に決つてゐたのであって、電磁波の振幅が大きな場合には、オ一次階からやりなおす必要があり、その結果は(4.4)式よりも相当異つた型になるものと考えられる。

然しながら、オ一次近似として考へた場合、任意の瞬間に沿けるプラズマの導電率は、ほゞ(4.4)式と同じ型をとり、ただしそ

$$U = U_r + U(E)$$

となることが考へられなければならぬ点が違つてゐるだけである。但し  $U_r$  は電子の熱運動速度、 $U(E)$  は外部電界による電子の速度である。又衝突周波数  $\nu$  は、 $P_0 = 273.16 \text{ Pa K}$ ,  $P = \text{気圧 (mmHg)}$ ,  $T = \text{気体温度 (°K)}$ ,  $P_e = \text{電子の衝突確率}$ ,  $v = \text{電子速度としたとき}$ ,

$$v = P_0 P_e v_r$$

で表わされるので、 $P_e \neq \text{const}$  であるような気体では、 $U(E)$  による衝突周波数  $\nu$  の時間変化の無い、各瞬間に沿ける(4.4)式の積分が變ることになり、導電率が時間により變る事が考へられるわけである。その場合

$$\frac{dv}{du} = \frac{dv}{dv} \cdot \frac{dv}{du} - \text{const} \frac{dv}{du} = \text{const} \left( \frac{dv}{dv} \cdot v + P_e \right)$$

であることから、 $\frac{dv}{du}$  の大きさのほど、即ち Ramsauer 効果の甚しい気体を、それが起る速度範囲で用ひると、導電率の時間的な変化が大きくなり、高調波出力も大きくなると云う事になるのである。

#### §.5.4. 平均電子の運動からの説明

小振幅の高周波電界が作用した時の、プラズマの導電率(4.5)式は、次に述べる様に、<sup>(3)</sup>  $m\nu$  をあたかも粘性係数の如く考へて、平均電子の運動方程式

$$m \frac{d^2x}{dt^2} + m\nu \frac{dx}{dt} = eE_0 \cos \omega t \quad \dots \quad (5.1)$$

を解く事によっても求められる。

(1)此の考え方へ従って、マイクロ波放電を行っている場合にも、平均電子の運動(電界方向の)を取上げ、衝突周波数としては、或平均電子速度 $v_0$ のまわりに $(v_0 + dv/dt)$ で電子速度が変るものと考へて、それで決定せられる衝突周波数を用いることにする。

そのモデルとして、電子が速度 $v_0$ で $x$ 方向に進んでいくプラズマ $E \cos \omega t$ のマイクロ波電界が印加された場合を考えると、

$$v_0 \gg |\frac{dx}{dt}| \text{ のとき。}$$

$$\dot{v} = p_0 P_e (v_0 + \frac{dx}{dt}) = p_0 \left\{ P_{e0} + \left( \frac{dP_e}{dV} \right)_{V=v_0} \cdot \frac{dx}{dt} \right\} \{ v_0 + \frac{dx}{dt} \} \quad \dots \dots \quad (5.2)$$

となるので、(5.1)式は、

$$m \frac{d^2x}{dt^2} + m p_0 \left\{ P_{e0} v_0 + P_{e0} \frac{dx}{dt} + \left( \frac{dP_e}{dV} \right)_{V=v_0} \cdot V_0 \frac{dx}{dt} + \left( \frac{dP_e}{dV} \right)_{V=v_0} \cdot \left( \frac{dx}{dt} \right)^2 \right\} \frac{dx}{dt} = e E_0 \cos \omega t \dots \dots \quad (5.3)$$

となり、電界方向の運動方程式は非線型となる。但し $P_{e0}$ は $v_0$ 時の衝突確率である。

第5.2図を見れば分る様に

$N_2$ は  $1eV \sim 2.3eV$

$A$ は  $1eV \sim 12eV$

$He$ は  $2.3eV$ 以下、或はそれ以上

$H_2$ は  $4eV$ 以下

では $dP_e/dV$ は夫々一定である

と考えてよいので、 $dP_e/dV$

$= C$ とする。従って(5.3)式

は、

$$m \frac{d^2x}{dt^2} + m p_0 \left\{ P_{e0} v_0 + P_{e0} \frac{dx}{dt} + C V_0 \frac{dx}{dt} + C \left( \frac{dx}{dt} \right)^2 \right\} \\ = e E_0 \cos \omega t \dots \dots \quad (5.4)$$

となり、之から $dv/dt$ を求めれば、高周波電流は、

$$I = n e \frac{dx}{dt}$$

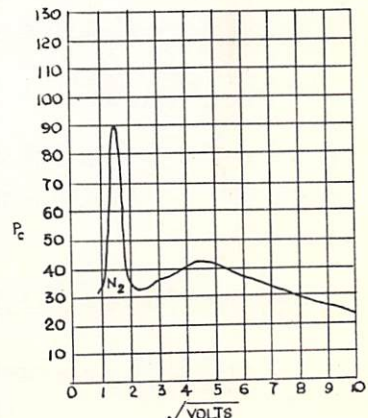
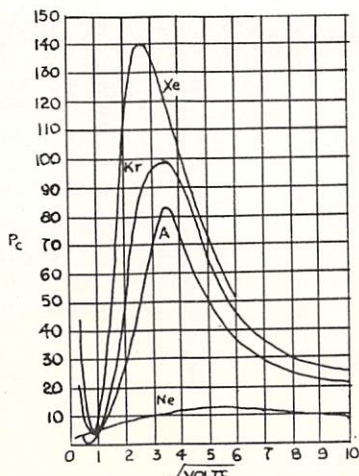
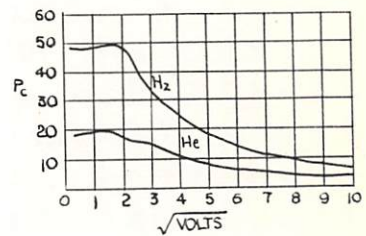
第5.2図 R.B. Brade, Revs. Modern Phys.

となり、高周波電流が期得出来るのである。(5.4)式は、

5, 257 (1933) より

$$\frac{dv}{dt} + AV + BV^2 + CV^3 = D \cos \omega t$$

の型をしており、 $BV^2 \gg CV^3$ と考へられるので、仮に $V^3$ の項を省略しても、速度 $V$ には各次数の高調波項が含まれると思われる。



(5.4)式を $N_2$ 及び $H_2$ について、適当な条件の下で計算機により解いた結果が、第5.3図に示されており、夫々の場合の高調波分が比較せられている。

(2) (1)のモデルには若干難点がある。それは、外部電界による平均電子の運動の正の速度方向では衝突周波数が増加し、負の速度のときは、減少することである。此の結果直流分が生じてゐる。電子速度が外部電界によって、変化し、それにより衝突周波数が変化することを取り上げた時、平均電子の速度の正方向、負方向の選定は任意であつて、衝突周波数の変化は対称となるべきである。この様に考へると、平均電子の速度零のときのプラズマの電子温度で決まる適当な電子速度を $v_0$ とし、衝突周波数は平均電子の速度 $dv/dt$ により、

$$v = v_0 \left( P_{e0} + \frac{dP_e}{dv} \left| \frac{dv}{dt} \right| \right) (v_0 + \left| \frac{dv}{dt} \right|)$$

となるモデルを考えた方が自然である。従つて、(5.4)式に相当するものは、

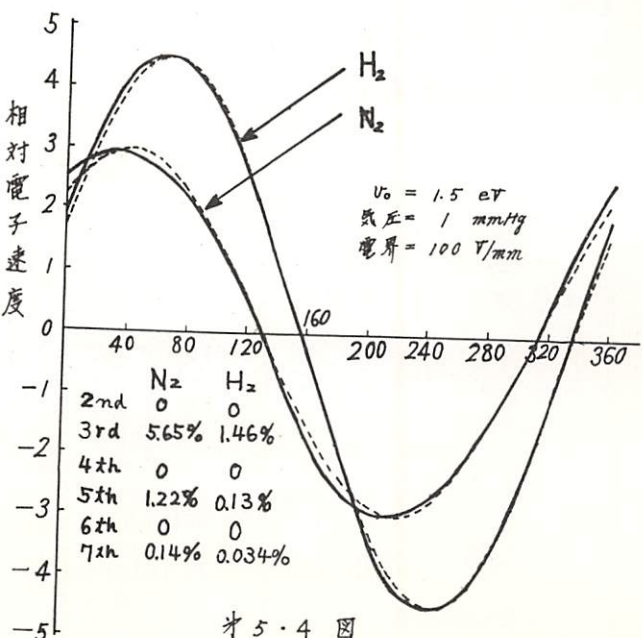
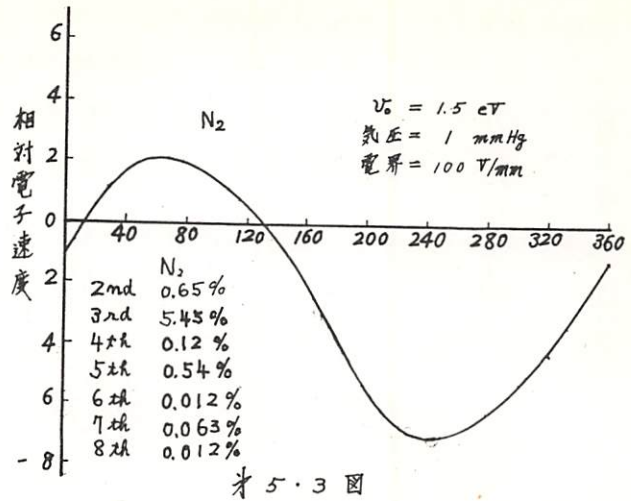
$$m \frac{d^2x}{dt^2} + mP_e \left\{ P_{e0}v_0 + P_{e0} \left| \frac{dv}{dt} \right| + C_1 v_0 \left| \frac{dv}{dt} \right| + \right.$$

$$\left. C_2 \left( \frac{dx}{dt} \right)^2 \right\} \frac{dx}{dt} = eE_0 \cos \omega t$$

.....(5.5)

となり、偶数次の高調波は期待できない。

(1)の場合と同様な条件の下で、計算機により解いた結果が第5.4図に示されている。



### §. 5.5. P. Rosen 氏の計算<sup>(4)</sup>について。

最近P. Rosen氏は、Margenau氏の1948年の論文を拡張して、プラズマに高周波電界が印加された場合の第三調波の振幅の計算を報告している。電子の速度分布函数として、

$$f = f_0 + \alpha f' = f_0 + f_1^0 \cos \omega t + g_1^0 \sin \omega t$$

$$+ \alpha \{ f_1^0 \cos \omega t + g_1^0 \sin \omega t + f_3^0 \cos 3\omega t + g_3^0 \sin 3\omega t \}$$

但し  $\alpha = V_e / \pi$  であるとして、ボルツマン方程式に代入して解いているのであるが  
衝突周波数  $\nu$  が電子速度によって変化しなければオービトリニティは発生しない』  
と云う事を理論的に指摘し、

$$\nu = C V^l$$

但し  $C$  : 常数,  $l$  : 整数であるとして、

$$\frac{\left(\frac{l E_0}{m}\right)^2}{6\left(\frac{2kT_e}{m}\right)(\omega^2 + \nu^2)} \ll 1$$

する条件のもとに、

オービトリニティ電流密度の同相分として、

$l = \text{奇数の場合}$

$$\begin{aligned} & \frac{4\pi e}{3} \left[ \frac{r}{4} \cdot \frac{40AC + 11\ell AC}{9\omega^2 + C\left[\frac{(l+4)\beta}{2}\right]^{\frac{1}{2}}} \cdot \frac{n}{\pi^{\frac{1}{2}}} \left(\frac{l+3}{2}\right)! \beta^{\frac{l}{2}} \right. \\ & - \frac{4\delta AC}{\left\{9\omega^2 + C\left[\frac{(l+6)\beta}{2}\right]^{\frac{1}{2}}\right\} \left\{\omega^2 + C\left[\frac{(l+4)\beta}{2}\right]^{\frac{1}{2}}\right\}} \cdot \frac{3r(3ACl + Al^2C)}{4\left\{9\omega^2 + C\left[\frac{(l+2)\beta}{2}\right]^{\frac{1}{2}}\right\}} \cdot \frac{n}{\pi^{\frac{1}{2}}} \left(\frac{l+1}{2}\right)! \beta^{\frac{l}{2}} \\ & - \frac{r^3 \ell C}{12 \left\{9\omega^2 + C\left[\frac{(l+4)\beta}{2}\right]^{\frac{1}{2}}\right\} \left\{\omega^2 + C\left[\frac{(l+4)\beta}{2}\right]^{\frac{1}{2}}\right\}} \cdot \frac{n}{\pi^{\frac{1}{2}}} \left(\frac{l+3}{2}\right)! \beta^{\frac{l-2}{2}} \\ & - \frac{r^3 \ell C^3}{12 \left\{9\omega^2 + C\left[\frac{(l+2)\beta}{2}\right]^{\frac{1}{2}}\right\} \left\{\omega^2 + C\left[\frac{(3l+2)\beta}{2}\right]^{\frac{1}{2}}\right\}} \cdot \frac{n}{\pi^{\frac{1}{2}}} \left(\frac{3l+1}{2}\right)! \beta^{\frac{3l-2}{2}} \end{aligned}$$

$l = \text{偶数の場合}$

$$\begin{aligned} & \frac{4\pi e}{3} \left[ \frac{r}{18} \cdot \frac{(40AC + 11\ell AC)}{\left\{9\omega^2 + C\left[\frac{(l+4)\beta}{2}\right]^{\frac{1}{2}}\right\}} \cdot \frac{(l+3)(l+1)\dots 1}{2^{\frac{l}{2}}} \cdot \frac{n}{\pi} \beta^{\frac{l}{2}} \right. \\ & - \frac{1}{2} \cdot \frac{ACr}{\left\{9\omega^2 + C\left[\frac{(l+6)\beta}{2}\right]^{\frac{1}{2}}\right\}} \cdot \frac{(l+5)(l+3)\dots 1}{2^{\frac{l}{2}}} \cdot \frac{n}{\pi} \beta^{\frac{l}{2}} - \frac{3r}{2} \cdot \frac{(3ACl + Al^2C)}{\left\{9\omega^2 + C\left[\frac{(l+2)\beta}{2}\right]^{\frac{1}{2}}\right\}} \cdot \frac{(l+1)(l-1)\dots 1}{2^{\frac{l}{2}}} \cdot \frac{n}{\pi} \beta^{\frac{l}{2}} \\ & - \frac{r^3 \ell C}{48 \left\{9\omega^2 + C\left[\frac{(l+4)\beta}{2}\right]^{\frac{1}{2}}\right\} \left\{\omega^2 + C\left[\frac{(l+4)\beta}{2}\right]^{\frac{1}{2}}\right\}} \cdot \frac{(l+3)(l+1)\dots 1}{2^{\frac{l}{2}}} \cdot \frac{n}{\pi} \beta^{\frac{l-2}{2}} \end{aligned}$$

$$\frac{Y^3 l C}{24 \left\{ 9\omega^2 + C \left[ \frac{(3l+2)\beta}{2} \right]^{\frac{3}{2}} \right\} \left\{ \omega^2 + C \left[ \frac{(3l+2)\beta}{2} \right]^{\frac{1}{2}} \right\}} \cdot \frac{(3l+1)(3l-1) \cdots 1}{2^{\frac{3l}{2}}} \cdot \frac{\pi}{\pi} \cdot \beta^{\frac{3l-2}{2}}$$

オ三調波電流密度の逆相分として、

$l = \text{奇数}$ , 偶数何れの場合も

$$\begin{aligned} & \frac{4\pi e}{3} \left\{ \frac{9}{16} \frac{Y\omega(10A+2lA)}{\left\{ 9\omega^2 + C \left[ \frac{(2l+2)\beta}{2} \right]^{\frac{3}{2}} \right\}} \frac{\pi}{\pi} - \frac{45}{32} \frac{Y\omega A}{\left\{ 9\omega^2 + C \left[ \frac{(2l+2)\beta}{2} \right]^{\frac{1}{2}} \right\}} \frac{\pi}{\pi} - \frac{3}{16} \frac{Y^3 l \omega}{\left\{ 9\omega^2 + C \left[ \frac{(2l+2)\beta}{2} \right]^{\frac{1}{2}} \right\} \left\{ \omega^2 + C \left[ \frac{(2l+2)\beta}{2} \right]^{\frac{1}{2}} \right\}} \frac{\pi}{\pi \beta} \right. \\ & \left. - \frac{3Y^3 l \omega C^2}{6 \left\{ 9\omega^2 + C \left[ \frac{(2l+2)\beta}{2} \right]^{\frac{3}{2}} \right\} \left\{ \omega^2 + C \left[ \frac{(2l+2)\beta}{2} \right]^{\frac{1}{2}} \right\}} \frac{\pi}{\pi} \frac{(2l+1)(2l-1) \cdots 1}{2^{l+2}} \beta^{l-1} + \left\{ \frac{YC(3Ac_l+A_1C_l)}{\omega \left\{ 9\omega^2 + C \left[ \frac{(2l+2)\beta}{2} \right]^{\frac{1}{2}} \right\}} \cdot \frac{(2l+1)(2l-1) \cdots 1}{2^{l+3}} \right. \right. \\ & \left. \left. - \frac{YC(10Ac+3AlC)}{\omega \left\{ 9\omega^2 + C \left[ \frac{(2l+4)\beta}{2} \right]^{\frac{3}{2}} \right\}} \cdot \frac{(2l+3)(2l+1) \cdots 1}{2^{l+4}} - \frac{AC^2 Y}{\omega \left\{ 9\omega^2 + C \left[ \frac{(2l+6)\beta}{2} \right]^{\frac{1}{2}} \right\}} \cdot \frac{(2l+5)(2l+3) \cdots 1}{2^{l+3}} \right\} \beta^{\frac{2m}{\pi}} \end{aligned}$$

を求めていく。こへん

$$\beta = \frac{2kT_e}{m}, A = \frac{m}{2M} \left( 1 - \frac{2kT_e}{m\beta} \right) = \frac{m}{2M} \left( 1 - \frac{T_e}{T_c} \right)$$

である。

更にこの様にして求められたオ三調波の振幅は基本波に比べて非常に小さく問題にならぬつが、

$$\frac{\left( \frac{eE_0}{m} \right)^2}{\left( \frac{2kT_e}{m} \right) (\omega^2 + \nu^2)} \gg 1 \quad \dots \dots \dots (5.6)$$

の場合には相当なオ三調波分が期待出来るので、近づいてその計算を行つたつと考えていく。と述べてある。

そこで先ず Rosen 氏がとり上げてある不等式を検討してみると、

$\omega = \nu$  の条件で、

$$\omega = 2\pi f \div 6 \times 3 \times 10^9 (\text{sec})^{-1} \quad T_e = 10000^\circ K \quad E_0 = 100 \text{ Volts/mm}$$

とすると、

$$\frac{\left( \frac{eE_0}{m} \right)^2}{\left( \frac{2kT_e}{m} \right) (\omega^2 + \nu^2)} \div 28$$

となり、マイクロ波放電から高調波を求めていくのは、明らかに(5.6)式の条件の場合であり、Rosen 氏の予見の通り、(5.6)式の条件の下に高調波分が計算せられなければならぬつのである。

彼の計算で特筆せられるべき点は、電子速度により衝突周波数が変化しあれば、オ三調波は発生しなかつ事を指摘してある事であつて、§.5.2.に述べた筆者の実験はオニ調波についてのものであるが、此の考え方の正しさを互に裏づけてい

るのである。第5.2図から分かる通り、放電している時(1eV～4eV程度の電子温度)は、 $N_2$ ,  $A$ ,  $He$ ,  $H_2$ 等の衝突確率では電子速度に比例しているものと考へられるので。

$$P_e = CV$$

とすれば、 $V = P_e V = CV^2$ となり、Rosen氏の計算にて $\ell = 2$ の場合に相当し

$$C \propto \frac{dP_e}{dV}$$

であるから、 $dP_e/dV$ の大きな気体程高調波出力が大きいといふ実験結果が出てくるわけである。

彼の計算結果から指摘せられる他の要素は分子に及ぼす $A = m/M(1/\text{eV})$ を含んだ頂点あることであつて、電界強度を増すに従つて急激に高調波が増加し、又分子量の小さい気体が望ましいことを示している。電界強度が影響する事は、(5.4), (5.5)式の数値計算によつても、明かであり、又§.6.3に述べるプラズマの閉込めによる能率改善及び§.7.4の研究の結果もそのことを裏づけている。分子量の影響については、気体によってRamsauer効果が異なるので良く分らぬが、§.6.2に述べる混合気体による能率改善が全く何らかの関係をもつのではないだろうか。

(5.6)の不等式から考へて、基本波の周波数が高くなるに従つて、電界強度及び電圧を大にする必要があると考えられる。

彼の計算と実験事実との大きな相違は、Margenau氏流の取扱をする限り、之は免れ難い所であり、奇数次の高調波だけが発生して、偶数次のそれは期待出来ない点にある。又(5.5)式についても云えることである。(5.4)式からは奇数次の高調も出てくるが、此の式の基礎となる考方は前に述べた様に若干無理があるので、電子速度による衝突周波数変化だけで、高調波発生現象を説明しつくす事は困難である。

### §.5.6. 結論

以上の研究から、高調波発生を本質的に支配しているものはRamsauer効果であり、その効果の著しいものほど高調波出力が大きいことが分ったわけである。しかししながら、Ramsauer効果だけでは偶数次調波の発生の説明が困難であるので、他の要因として、電子密度の時間変化或は時間による空間的分布の変化、又は放電経路方向の電界分布変化等を考慮しなければならないようと思われる。そして§.4.6., §.4.7.の実験事実は此の考方の正しさを支持しているように思われる。

平均電子エネルギー 1.5eV, 気体 1mmHg, 電界強度 100 V/cm の場合に、 $H_2$ ,  $N_2$ について(5.5)式を計算機により解いた結果、オ三調波電流は夫々基本波電流の、1.46%, 5.65% になつてゐる。(オ5.4図参照) 電力はその自乗に比例するので、電力比は 1 : 16 になるわけである。之とオ5.1表の  $H_2$ ,  $N_2$  のオニ調波出力

比が丁度一致することはまことに興味がある。勿論(5.5)式からは偶数次調波は発生しないので、此の一致から直ちに結論を出すわけには行かないが、Ramsauer効果だけを取り上げた場合は(5.5)式のモデルの取方が正しい事を暗示しているようである。之に反し(5.4)式の結果では  $H_2$  と  $N_2$  とのオミ調波電力があまりにも違つ過ぎるので、前にも述べたようにモデルの取方に無理があると考えられる。

### 参考文献

- 1 井谷、植之原、稻田 電気学会連合大会 (昭和36年4月)
- 2 S. C. Brown & W. P. Allis, Basic Data of Electrical Discharges, PT~9  
Technical Report No 283, Research Lab of Electronics MIT.
- 3 C. B. Wharton. UCRL-4836,
- 4 P. Rosen, Phys of Fluids, Vol. 4, 341-345 (1961)

## 第 6 章

### 高調波発生能率の改善

#### § 6.1. 緒 云

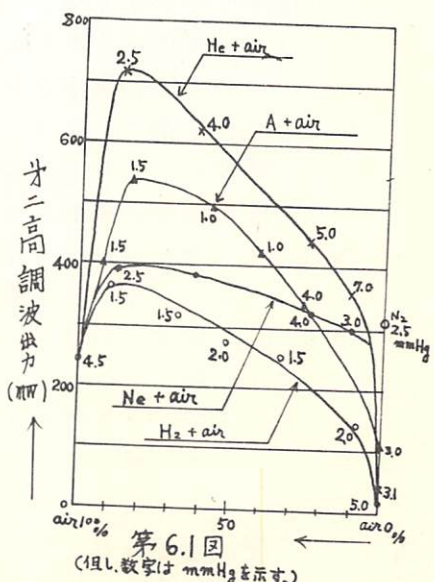
オ 5 章の研究の結果、高調波発生能率を改善する二つの方法が見出された。その一は気体の種類の選定であり、他の一は電極構造に関するものである。He と空気との混合気を用いることにより、空気だけの場合より 4 dB の能率改善が行われ、電極構造を適当にして、電極の凹部で形成せられる小さなキャビティ中にプラズマを閉込めることにより約 16 dB の能率改善がなされた。

#### § 6.2. 気体の種類による能率改善<sup>(1)</sup>

オ 5 章の研究により、Ramsauer 効果の著しい気体ほど、高調波発生能率が良いことが分った。然しながら電子速度と衝突確率との関係は、一部の気体についてしか測定されておらず、混合気についての測定結果は見当らない。混合気に対する高調波出力がどのように変化するだろうかということは、固体電子工学に於て不純物が重要な役割を果したことから聯想した場合非常に興味がある。勿論その内部構造は固体の場合のように行かないかも知れないが、何等かの面白い性質が出て来るであろう。

そこで、オ 5 章に用いたのと同じ実験装置を用い、先づ手始めに、乾燥空気と H<sub>2</sub>, He, Ne, Ar との混合気について、混合比を変え、気圧を種々に変えて実験した結果、オ 6.1 図に示すような、混合比とオニ調波最大出力との関係を得た。その結果を要約すると、

- 一般に純粹気体よりも、それと空気との混合気の方が高調波発生能率が良い。
  - 大体空気が 80~90% の領域で出力が最大になっている。
  - H<sub>2</sub>, He のようにそれ自身では高調波出力の少い気体では、わずかの空気の混入によって高調波出力が著しく増加する。
- の通りである。混合気の場合に、どの様な構造で高調波発生能率が良くなるかはまだ分らない。特に空気に約 10% 程度の他の気体が混入した場合に、空気の場合よりも著しく高調波発生能率が改善せられることから、それを單に Ramsauer 効果が著しくなったからと片づ

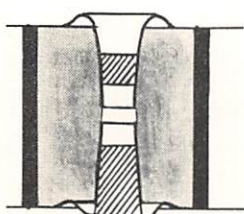


けてこまうわけには行かないようである。然しながら此の現象は工学的には非常に興味があり、特に He と空気との混合気で、空気 87% の時に  $720 \text{ mW}$  (-16db) という高能率が得られたことから、更に高能率の混合気を探し求める試みは、工学的応用の上から重要な意味を持っているのである。

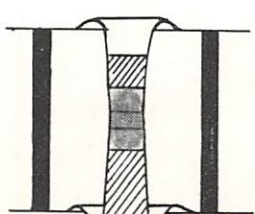
### § 6.3. プラズマの圧込めによる能率改善<sup>(2)</sup>

(a). 実験方法および実験結果 オ 5 章の研究を始めた初期に於ては、放電はオ 6.2 (a) 図に示すように、放電管に一ぱいに拡がっており、高調波出力も非常に少かつた。これはオ 5.1 図に示すように、放電管として切換管 IB27 を用いており、電極端面に凹部があるので高調波出力が少いのは致方ないものと考えていたのである。たまたま、適当な気圧で放電ギヤップ長を大体  $0.3 \text{ mm}$  かそれ以下ぐらにすると、今迄放電管一ぱいに拡がつていてプラズマが、上下電極の凹部で形成せられた小さなキヤビティの中に、瞬間的に入り込んでしまひ、同時に高調波出力が急増する現象を認めた。それ以後は、気体の種類によって、圧込めの起る気圧の下限は若干異るようであつたが、大体上に述べたように、放電ギヤップ長を極端に小さくすることによりプラズマを圧込めることができた。又圧込めの起り難いようなどきには、次のようにして圧込めを行つた。始めギヤップ長を長くしておき、入力を少くしてゆくと、放電ギヤップの所だけで辛うじて放電を行ふようになる。その状態でギヤップ長を縮めてゆくと、放電の領域は殆ど拡がらず次第に強い放電になり、遂には電極端面の凹部で形成せられる小さなキヤビティ中に入り込んでしまうようになる。そこで入力を次第に増して行つてもプラズマは圧込められたままである。プラズマが圧込められた状態をオ 6.2 (a) 図に示してある。

一たん圧込められたプラズマは、  
気圧、放電ギヤップ長を相当な範  
囲に変えても、圧込められた状態  
を維持しようとする性質があるので、  
高調波出力が最大になるよう  
に気圧、放電ギヤップ長を調節出  
来る。放電ギヤップの長さによる  
オーディオ波出力の変化はオ 6.3 図に  
示すとおりであり、ギヤップ長が  
大体  $0.3 \text{ mm}$  以上になると、圧  
込めの状態から脱して一ぱいに放電管中に分散し、高調波出力は激減する。場合  
によつては、分散しても放電ギヤップの所に光輝の強い放電が行われていゝこと  
もあり、このようの場合には出力の減少はそれほどひどくない。プラズマの圧込  
めにより約  $16 \text{ db}$  の能率改善が行われた。又今迄は電極のスペッタにより、放電  
管のガラス壁に金属薄膜を生じ、之が此の周波数倍器の寿命を決めていたので  
あるが、圧込めにより、此の現象が抑制せられ、入力  $30 \text{ W}$  で  $100$  時間使用出来た。



オ 6.2 図 (a)



オ 6.2 図 (c)

### (B). 囲込みの現象の説明

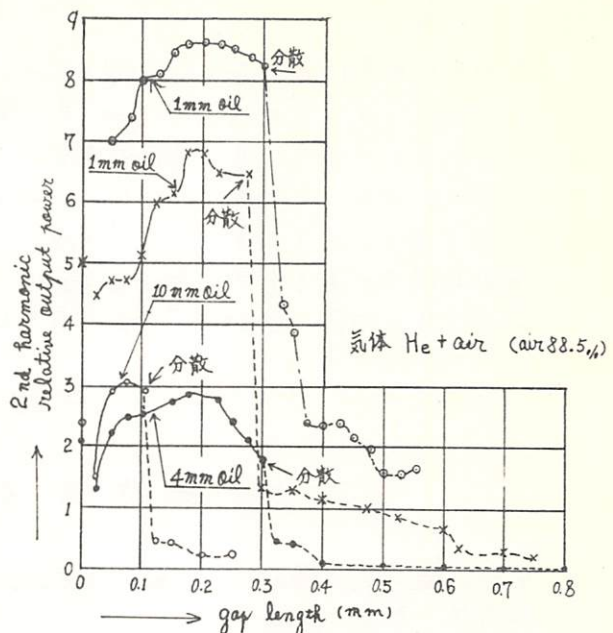
プラズマが小キヤビティ中に囲込まれる現象は次のように説明せらるようである。

放電ギヤップ長を減少せると、電極の縁端附近特にその内側の電界は非常に強くなり、その附近の電子密度は上昇して導電率が増加するため、その部分に電力が集中する。それと、もに電極の外周の電界は弱くなつてくるわけである。又キヤビティ内部は強電界のために、電極のスパッタによる金属分子がプラズマ中に混入し、非常に電離し易い状態になつてくるために、プラズマの導電率は急増し、ますます此の部分に電力が集中するようになる。それと、もに電極外部の電界は弱くなつてゆき、もはや放電を維持出来ないような電界になると電極外部の放電は停止し、小キヤビティ中だけで放電が行われるようになり殆ど全電力が此所に集中する。此のような過程はその進行速度が次第に増す性質のものであるから、外観上は如何にもピンチを起した様な形で「プラズマの囲込み」が起るのである。

プラズマが一々んキヤビティ中に囲込まれると、上に述べたように、電極のスパッタによる金属分子の混入によって、キヤビティ中の電子密度は非常に高くなり、電力はこの小さな体積中に集中していゝため、放電ギヤップ長、気圧、入力等の変化によって、電極外周部分が再び放電を開始できる条件になるまでは、プラズマはキヤビティ中に囲められていゝのである。要するに小さなキヤビティの内部と外部との電界分布の変化に起因するのであって、入力が大きすぎれば此のような現象は起り難くなる（キヤビティ外部の電界が放電の維持電界よりも下らぬため）ものと思われる。

### (C). プラズマの誘電率からの考察

プラズマの比誘電率は、電子密度の増加により、1よりも小さくなり、次第に零に近づく。従つてキヤビティ中に囲められたプラズマ部分の体積は、実際の物理的体積よりも相当小さく見積られる。此のこととは、波長が短くなつくると重要な意味を持ており、適当な密度のプラズマを含む「キヤビ」は、相当大きな物理的寸法のものでも低次姿態の共振を行わせうることを意味しており、短ミリ波、サブミリ波の発生には非常に魅力のある性質である。



第 6.3 図

## §.6.4. 結云

高調波発生能率に最も大きな影響を与えるものは、一応気体の種類と電界強度であると考えられることは、Rosen 氏の計算から推察せられる。それに対して裏づけを行うとともに、高効率能率を持た周波数遮倍器が得られるわけである。然しながら此の二つの要素については、能率改善を目指して更に今后の研究が望まれるのである。又第5章の結論にも述べたように、高調波発生には他にもう一つの重要な因子があるようと思はれるので、その解明と廻避しながら、その面からの能率改善の研究も行われなければならぬ。

## 参考文献

- 1 升谷、植之原、稻田 電気学会連合大会（昭和36年4月）
- 2 植之原、升谷、稻田 , , , ( , , )

## オ 7 章

### 各国に於ける研究状況

#### §. 7.1 緒 言

此の現象は、その発見からまだ日が浅いために、研究者の数は少い。特に我国に於ては、筆者のグループ以外には此の問題の研究を行っている所はないが、最近角、森山両氏(通研)は理論的な研究に着手しており、近い将来に発表せられる筈である。本國に於ては、筆者の初期の報告を基にして、数ヶ所に於て研究が行われている。オ 5 章に述べた P. Rosen 氏の研究はその中の理論的なものであり、他は実験的なものである。

それ等を概観することにより、此の問題の現在に於ける研究状況を明かにするとともに、採用すべき長所及び今后の問題点を指摘しようと思ふ。

#### §. 7.2 米国に於ける研究

##### (1) R. M. Hill 及び S. J. Tetenbaum 氏の研究<sup>(1)</sup>

Sylvania Microwave Physics Laboratory の Hill 及び Tetenbaum 両氏は、出力 500 W, 3000 MC のマクスニトロンを用い、矩形の長さ 1 インチの石英硝子製の容器に、He を数ミクロンから 1.2 mmHg ぐらの気圧で充填し、之を導波管中にねじ、その前後に筆者が用いたのと同じ様に数本のステップをおいて放電キャビティとし、高調波出力は、石英硝子製容器の前後から探針によって取出している。

此の研究の特徴は、プラズマに電波の進行方向と直角に磁場をかけ、磁場により高調波の発生が著しくなること、及び入力の大きな所で高調波出力が飽和することを見出している点である。

オ 7.1 表は、入力 300 W, 2960 MC のときの、変換能率の最大値を示したものであり、オル調波出力を  $P_{ow}$ 、プラズマで消費された電力を  $P_o$  としたとき、 $\text{変換能率} = 10 \log(P_{ow}/P_o)$  としたものである。

高調波次数	変換能率
2	-15 db
3	-35 db
4	-50 db

オ 7.1 表

オ 7.1 図は、気圧 1.2 mmHg のとき、磁場を加えた場合の入力に対するオル調波出力を示したものである。此図から分る通り、入力が 250 W を超えると、高調波出力が飽和する。これは、電子密度が上昇して、基本波がプラズマ内部に入らな

くなるためである。そして高調波に比べると、電子密度から決まるプラズマ周波数はずっと低いので、高調波はプラズマではあまり影響を受けない。従って基本波の周波数が下ると、此の形の周波数倍器の能率は、此の飽和現象のために、下るのでこれから基本波の周波数の下限がきまる。基本波の周波数を上げるに従って、飽和の起る電子密度が上るので、変換能率は良くなり、入力もより大きく出来るだろう。

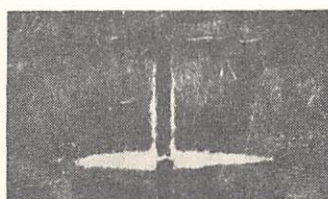
オクタゴン図は、入力300W, 3000MCのとき、磁場によるオニ調波出力の変化を示している。気圧一定の場合、サイクロトロン共鳴を起す磁場よりも少し低い所で出力最大となり、それを越すと単調に減少する。気圧が低くなるに従って、出力最大になる磁場は増加し、次第にサイクロトロン共鳴を起す磁場に近づく。之等のことから、オニ調波は、プラズマの導電率の虚数部の非直線性によって起っているらしく思われる。

オニ調波は気圧 0.2 mmHg のとき最高となる。気圧が高くなると、衝突によって失われるエネルギーが多くなり、気圧が低過ぎると、電子の拡散が早くなり、容器の壁にエネルギーが失われる量が多くなるので能率が悪くなるのであると説明している。

## (2) J.R. Baird 及び P.D. Coleman 氏の研究

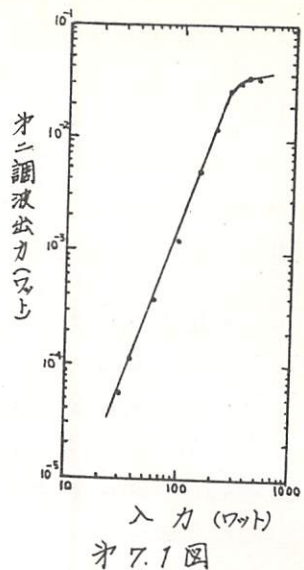
イリノイ大学の J.R. Baird 氏及び P.D. Coleman 教授は、10000MC 帯のパルスマグネットロンを電源として用い、放電キャビティとして、オクタゴン図に示す様な直交型のものを用いて実験している。

その放電状態はオクタゴン図に示す通りであり、実験につれて、オクタゴン調波生成

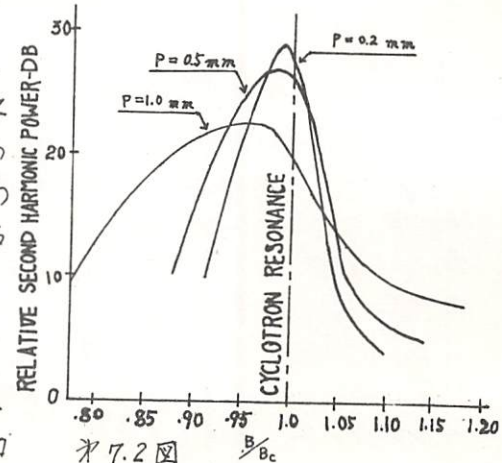


オクタゴン調波生成

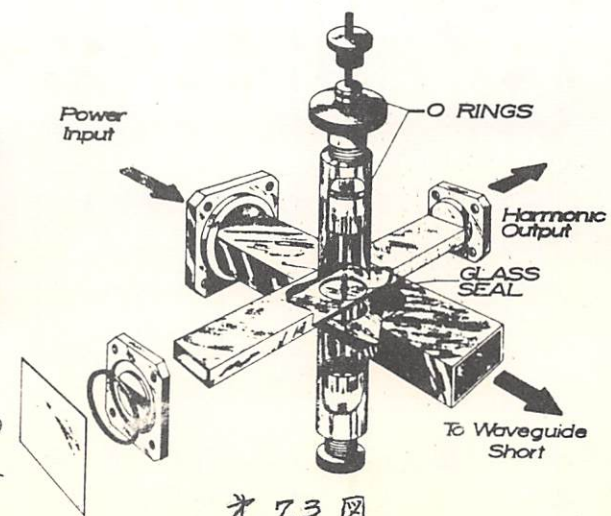
ているが、そのうち電力の測定が行われたのは、オクタゴン調波で、その変換能率はオクタゴン図に示す通りであつて



オクタゴン調波出力



オクタゴン調波出力



オクタゴン調波出力

、高調波の次数が1次以上3毎に、変換能率は5db以下ぐらいたしか下らない点を指摘し、此の点が非常に魅力がある。

$N_2$ ,  $He$ ,  $Ne$ と $A$ の混合気体についても実験しているが、気密が悪いので、密気を混入したおそれがあり、気体により差があるらしいが良く分らない。

高調波発生能率は、基本波の角周波数と衝突周波数が等しくなる様な気圧の附近で最大になり、放電ギャップの長さは、高調波次数が高くなる程短くなり、一般には波長に比べてうんと小さいことを指摘している。

### (3) P. Rosen 氏の研究

オカ5章に述べた通りである。

### §. 7.3. 英国に於ける研究

オックスフォード大学の N.R. Birrell 及び D.Walsh 両氏<sup>(3)</sup>は、3000 MC のパルスマグネットロンを電源とし、オカ7.6図(a)に示す様な直交型の放電キャビティに、(b)の様な放電管をマウントし、気体として  $Ne$  を 5 ～ 39 mmHg の気圧で充填して、オカ18調波迄求めている。

$Ne$  を用いた理由は、水蒸気、 $O_2$  の様な気体では電子の附着確率が大きいので、負イオンを形成し、マイクロ波電界との相互作用を考慮したとき、電子の作用が実質上減殺せられるので、負イオンを形成し難いような気体を選んだのである。

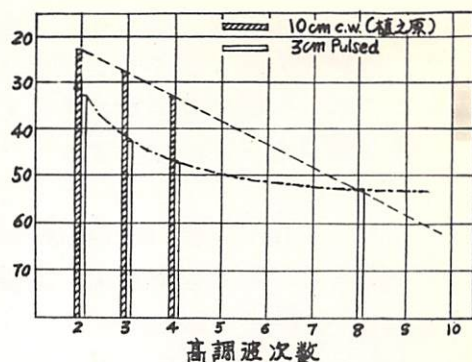
変換能率はオカ3調波で -35 db、それ以上では次数が上がる毎に 3 ～ 4 db の減衰

を示しており、之は非直線抵抗からの高調波の場合の 6 db よりもはるかに能率が良いので、非直線リアクタンスにより高調波が発生するのであろうとしている。

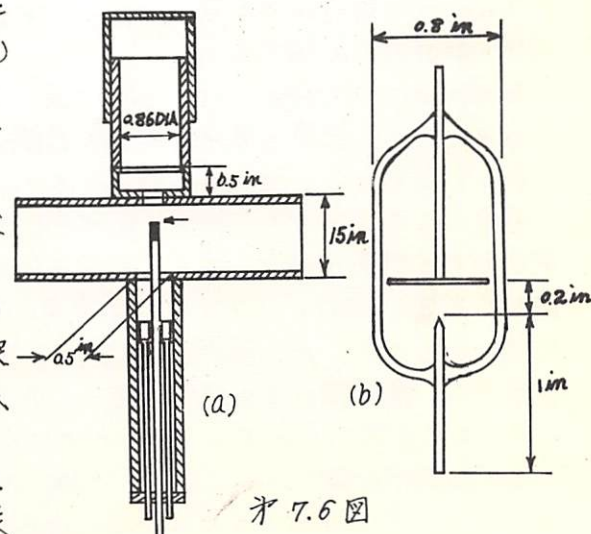
ボルツマンの輸送方程式を解くことにより、高調波発生を説明しようとの努力もなされていることが述べられている。

### §. 7.4. カナダに於ける研究

オンタリオ大学では、オカ3図と同じ様な直交型の放電キャビティを用い、基



オカ7.5図



オカ7.6図

本波と高調波の導波管を結合する同軸線路の所に、高調波を遮断するチョークを設けて、高調波回路を基本波の回路から切离している。又放電部の電界強度を強くすることが、高調波発生能率を高める折衷であるとの考え方から、電極構造を工夫し、オ2調波を-8dbで発生している。

### §. 7.5. 各研究の検討

之等の研究に共通して欠点は、高調波が気体のどの様な性質によって発生するか、と云ふ点と興味本位がれてつなり点であって、従って高調波の発生能率を問題にしながら、その気体の性質については選定の方針がなつてゐる。電子の附着確率も高調波発生能率に影響すると考えられるが、Ramsauer効果ほど本質的な問題ではないのであって、Rosen氏が此の効果を計算に取り入れられた点は、高く評価すべきであると考える。オンタリオ大学の研究も使用する気体をつく選定すれば、-8dbよりも更に能率が向上するものと思われる。

殆どの人が直交型の放電キャビティを用いているが、此の型は基本波の周波数を高くする場合に非常に好都合であり、基本波50Gc程度迄は此の型で充分であると思われる。特にオンタリオ大学にて基本波の導波管との間に高調波を遮断するチョークを設けたのは一の進歩であって、当分の間は此の型を採用すべきであると考える。

電界強度を強くする様な電極構造により、高調波発生能率が向上することは、P. Rosen氏の研究からも明らかであり、気体の種類を迷ぶと共に、此の点に関する研究を続けることが望ましい。

磁場をかけた研究は一件しかないが、之は高調波発生構造を調べる一つの方向であると共に、放電を集中せしめて高調波発生能率を改善するためには有力な手段であると思われる。特にHeの様な気体でも、オニ調波が-15dbで発生している点は留意すべきであつて、放電を集中せしめて、此浙に電力を集中させたことと、電界強度を強める結果となり、能率が向上したものと考へることも出来る。(磁場の存在する場合のアラズミの導電率の問題をより細かに調べる必要がある事は勿論であるが)。此の観点からすれば、オ7.3回に示した、Coleman氏等の放電状態では、高調波の発生能率は悪いものと判断せられるのであって、電極構造等に更に工夫が加えられて、しあるべきである。

高次高調波は調べられており、大体、次數が上るごとに4db 見当づつ能率が悪くなると考へて良さそうである。此点はクリスタルを用いた周波数倍器に優る魅力ある特長であつて、高次高調波の発生能率はクリスタルの失れを遙に上回ることになり、入力容量本格的に大きい事を考へ、短ミリ波、サブミリ波の発生の有力な手段になり得ることを確かめた点で優れている。

参考文献 1. R.M.Hill & S.J.Tentenbaum, J.App.Phys., Vol. 30, 1610~1611, (1959) 2. J.R. Baird & P.D. Coleman, Millimeter Waves, M.R.I.Symposia Series IX, 289~300, Polytechnic Press. 3. N.R. Biernom & D.Walsh, J.Electronics & Control, 81~90, (1961) 4. オンタリオ大学(カナダ)に於ける成果 私信による

## 第 8 章

### 短ミリ波、サブミリ波の発生に於て本研究の有する意義

#### §. 8.1 緒言

これまでの研究に於ては、マイクロ波放電から高調波が発生する現象及びその発生機構の探究に主力が注がれたのであって、物理的な観察からは非常に興味がある。然しながら、筆者の終局の目標は、此の現象を利用して周波数倍器を作製し、短ミリ波、サブミリ波を発生することにある。

今迄の研究自体は、確かに大電力の非常に能率の良い周波数倍器の研究でもある。然しながらそれによつて発生し得る高調波が、高々数万 MHz に止つてゐる場合は、それ等の周波数帯のマイクロ波電子管が開発せられてゐる今日、工業的には切実な意義を持たないわけである。

第一章にも述べた様に、短ミリ波、サブミリ波の相当大きな信号を発生することは、物理学、工学等の分野に於て切実な要求となる。おりながら、研究自体は行はれぬの状態にあり、<sup>(1)</sup> 創期的な新しい考え方の出現が待望されてゐる。現在非常に微弱な電力ではあるが、物理学の研究に使用せられてゐるのは周波数倍によるものであり、新しい考え方による創期的な方法の出現迄の間の中経の方法は、此の中から生れるものと思われる。

そこで、短ミリ波、サブミリ波の発生を目指して行われてゐる、各種倍器の研究を検討し、マイクロ波放電を利用して倍器の有望性を明かにしようと思うのである。

#### §. 8.2 各種周波数倍法とその難点

##### (a) 電子ビームからの高調波

###### 1) マイクロ波電子管の高調波<sup>(2)</sup>

普通のマイクロ波電子管、例えば波長 1.25 cm のマグネットロン 31 の場合

$$\text{基本波出力} = 2.0 \times 10^4 \text{ watts}$$

$$\text{オ3調波出力} = 2.4 \times 10^{-1} \text{ "}$$

$$\text{オ8 } = 1.8 \times 10^{-4} \text{ "}$$

$$\text{オ10 } = 1.2 \times 10^{-4} \text{ " (波長 = 1.25 mm)}$$

といふように、高調波分は非常に少く、然も之はパルス出力である点に注意する必要がある。

###### 2) 高調波を多く含むように設計せられたマイクロ波電子管

例えば、コロンビア大学で作られたマグネットロン<sup>(3)</sup>では、X バンドの陽極を用いオ2調波 3.4 kW、オ3調波 1.2 kW を出している。

又基本波空洞の先に高調波用空洞を用いたクリスチストロ<sup>(4)</sup>では、基本波4.08cmから、1.7mm(24調波)を求めている。

然し何れに於ても短ミリ波、サブミリ波の発生ということになれば、マイクロ波電子管で普通にそれらの波を発生しようとすると時に遭遇する問題点

(i) 物理的寸法と許容誤差(極度の工作精度を要求せられ常に比例する)

(ii) 回路損失(表皮効果に起因するもので<sup>(5)</sup>常に比例する)

に直面するとともに、空間電荷がビームのバンチング作用を制限し、高調波含有量を制約する事となる。

### 3) Rebatron<sup>(5)</sup>

メガeVの直線加速器を用いて、高速加速された相対的電子ビームを用いて、非常に密なバンチングを行わせると、その出力電流は多量の高調波含有率を持つ、<sup>(6)</sup>ので、このビームをTM<sub>011</sub>モードの空洞に通して高調波を取出す。長所は、

i) 非常に密なバンチングが行われるので、1000番目の高調波<sup>(7)</sup>が発生可能であると思われている。

ii) 非常に高速であるので、高密度のバンチが、相当な巨角の間保持出来る。

iii) 百万ボルト程度の高速電子流を用いるので、一般的のミリ波管のような遅波回路を用いる必要がなく、適当な高次モードの高調波出力結合空洞を作ることが出来るので、比較的大きな断面積の電子ビームを用いることが出来る。

であるが、

i) メガeVの直線加速器を必要とするので装置が膨大になる。

ii) パルス出力になる。

という欠点があり、一般に広く用いられるには致命的である。然し短ミリ波、サブミリ波を出せばよいという点からは有望な方法である。

### 4) 電界放射

電界放射の電圧へ電流特性の非直線性を利用することが提案<sup>(8)</sup>されているが、高真空を必要とすること、安定度の問題、インピーダンスが高いこと、電流の制限などの問題点がある。

#### (b) 磁場の非直線電子からの高調波

1) 金属一半導体接合を用いたダイオード

従来から広く用いられている、クリスタルを用いる方法で、Gordy 氏等は波長0.5mmの発生にも成功しているが、<sup>(9)</sup>オ1章にも述べに通り、名人芸に属するものであり、入力が小さく、能率もあまり良くない。(例えば、基本波24KMCのヒミオケ調波で-60db)。即ち、出力が非常に小さいという欠点がある。然しながら構造が簡単な所から、現在一番良く用いられている。

## 2) 強磁性材料による高調波

フェライト或はイットリウム-鉄-ガーネット(YIG)の称な、強磁性材料を磁化して高周波電界を加えると、オ2調波が発生する。<sup>(13)</sup> 例えばフェライトを用いて、9GCパルス入力32kWで、変換能率25%で18GCが得られた報告があり、また70GCから2mm帯波9Wを得た実験も報告せられていて。

此の方法は

- (i). オ2調波だけが大きい。オ3調波以上も得られているが、オ2調波が格段に優勢である。
- (ii). 高調波出力は入力の1.8乗に比例すると云われており、入力が相当大きくなければ能率が悪い。従ってパルスで動作させることになる。
- という欠点を持っている。

## 3) プラズマのサイクロトロン共鳴を利用する高調波の発生

プラズマのサイクロトロン共鳴を利用してオ2調波の発生に成功している<sup>(14)</sup>。然し、短ミリ波、サブミリ波の発生には非常に高磁界を要し、%の大きなものを用いなければ望みがない。

## § 8.3 Microwave Gas Discharge Frequency Multiplier.

本研究を利用した周波数倍法であつて、

- (i) 入力が大きい。(数十ワット～数百ワット)
  - (ii) 構造が簡単で、工作精度を要求せられない。又放電部の物理的寸法は、普通の電子管のそれよりも大きく出来る。
  - (iii) 高調波発生能率がよく(オ2調波)-8db。此の能率は今後更に改善せられることが予想される。特に高次調波の能率はクリスタルのそれに比べて格段に良い。(-3～4db/harmonic)
  - (iv) サイクロ波放電を利用するため、電極の損傷が少い。
  - (v) 磁場をかける必要がない。
  - (vi) 気圧、その他動作条件のわずかな変化は出力にあまり影響しない。
- という点は非常に魅力があり、中程度の電力(数十ワット～数百ワット)を利用する為、連続波で動作せしめることが出来る事、又ミリ波帯では既にその称なクリストロンが市販せられていてるので、比較的簡単に短ミリ波、サブミリ波の相当な電力の連続波を求めることが出来ると考えられる。

§ 8.2に述べた方法の中で、最も可能性のあるものは、Rebatron、クリスタル、フェライトを用いるものであるが、構造の簡単さはクリスタルと同様であり、取扱は最も簡単であると思われる。又短ミリ波、サブミリ波出力はRebatronに次ぐものと予想せられるが、連続波出力を求め得る点で使用上甚だ好都合である。

此の点に、従来の方法の欠点を補つており、近い将来、短ミリ波、サブミリ波の発生に最も広く用いられるものと考えられるのである。然しながら、周波数倍法自体が、過渡的性格のものであることはいはぬないので、割り切った方法の發

見ヒともにその使命を終るものと思われる。

## 参考文献

- 1 I. Kaufman. I.R.E. Vol 47, 381-396. (1959)
- 2 J. A. Klein, N. Lobset, A.H. Nethercott & C.H. Townes.  
Rev. Sci. Instru. vol 23, 78-82, (1952)
- 3 "Research Investigation Directed Toward Extending the Useful Range of the Electromagnetic Spectrum" Columbia Rad. Lab. DA-36-039 SC-64630 (1957)
- 4 J. Bernier & H. Leboutet. Acad. Sci., Comt. Rend., vol. 231, 796-798, (1954)
- 5 P.D. Coleman. J. Appl. Phys., vol. 28, 927-935 (1957)  
I. Kaufman & P.D. Coleman, J. Appl. Phys., vol. 28, 936-944 (1957)
- 6 Elec. Eng. Res. Lab., Univ. of Illinois. contract AF18(603)-62, Rep. No. 7
- 7 Millimeter Waves. p9. M.R.I. Synposia Series vol IX. Polytechnic Press.
- 8 J.L. Melchot. W.P. Ayres & P.H. Vartanian. I.R.E. Vol. 45, 643-646 (1957)
- 9 Hughes Aircraft Co, Culver City, Calif., Signal Corp.  
Contract DA 36 - 039 SC-73063, Final Progress Rep (1959)

## 第 9 章 結 論

本研究は、マイクロ波放電から高調波が発生する現象を発見して、その特性を調べ、発生機構を探究し、又その現象を利用して周波数倍器として用いてその能率改善を行ひ、近い将来短ミリ波、サブミリ波発生の有力な方法となるべきことを論じたものであつて、得られた成果を要約すれば以下の如くである。

(I) 適当な条件の下に気中マイクロ波放電を行わせると、高調波が能率良く発生する。

(II) 高調波出力を左右するものは、

i) 気体の種類

ii) 気圧

iii) 電界強度(入力、放電ギャップ長、電極の形、その他回路条件)

iv) 高調波の育成と取出し方

v) その他、低周波電圧、磁場の重ね合せによつても大きく変化し、放電の形態も関係する点である。

(III). i) 円筒形電極を対向させた場合には、一般に入力が大きくなるに従つて出力最大になる放電ギャップ長は長くなり、ギャップ長一定の時は、気圧が小さくなるに従つて放電ギャップ長は長くした方が良い。

ii) 入力と出力とは相当範囲にわたり、ほぼ直線関係にあると考えられる。

iii) 入力の角周波数と、電子の衝突周波数が大体同じ程度の時に高調波が発生する。

(IV). i) 電子密度は大体そのプラスマ周波数が入力の周波数と同じか、それ以上の程度に依つている。

ii) 高調波が発生するのは、本質的には、電子速度によつて衝突周波数が変化すること、即ち Ramsauer 効果に起因しており、その効果の著しい気体ほど高調波出力が大きい。

iii) Ramsauer 効果だけでは奇数次調波だけが発生することは、Ramsauer 効果を取り入れた平均電子の運動方程式から説明せられる。又このことは、電子の速度分布函数から論じて Rosen 氏の解説でも示される。

iv) 低周波電圧を重ね合せたときの放電状態の観測、及び整流現象の存在することから、Ramsauer 効果の他に電子密度及び電界分布の時間的空間的変化の点なものが、他の重要な因子として作用して偶数次調波も発生すると考えなければならない。(一例として(5.4)式のようなモデルをとれば偶数次調波も発生する。)

(V) 適当な混合気体を用いたり、或はプラスマの閉込めを行つて電界強度を強

くすれば能率を改善出来る。又プラズマの閉込め現象の説明が行われた。

(IV). 他の国の研究状況を検討し、直交型放電キーピティを用いた方が便利であり、電極形状を工夫して電界強度を強くする研究が進められる必要があることが分った。又高周高調波追求のためにデータから、短ミリ波、サブミリ波発生に非常に有望であることが証明せられた。

(V). 現在迄の短ミリ波、サブミリ波発生の研究状態を検討し、此の現象を利用した、 microwave gas discharge frequency multiplier が、近い将来に短ミリ波、サブミリ波の有力な発生手段となるであろうという事が予測せられた。

此の報告は現在迄に得られた結果を一応とりまとめたものであつて、今后に残された問題は山積しており、むしろ之からの研究が重要な意味を持っている。(特に工学的応用に於て)。それらについて気付いた点を述べると、

- i) 偶数次調波の発生構造の探究
- ii) 短ミリ波、サブミリ波の発生(基本波を 35 GHz 程度追上げること)
- iii) Cs の熱電離プラズマを用いることにより、放電の維持の為の電力を節約すると共に、 $\frac{dE}{dt}$  が格段に大きい事をを利用して能率を高めること。
- iv) 磁場の重ね合せにより能率の改善を行うこと。
- v) 電極構造の研究(電界強度を強くして能率を改善する)。
- vi) 能率の良い混合気の探究。

のことよりである。

筆者は現在、 10 GHz パルスマグネットロンを電源としてオシロ調波追求しており、又 10 GHz 連続波マグネットロン、 35 GHz パルスマグネットロンを電源とした研究も行っている。尚 Cs 热電離プラズマを用いる実験も近日中に開始出来る筈であり、近い将来之事について報告出来る事を楽しみにしている。

## 謝 辞

擱筆するに当り、先づ研究の場を与えるとともにそれに専念出来るよう常に御配慮いただいた、日本大学稻田金次郎教授、丹波義也助教授に衷心からの敬愛と感謝の意を表するものであります。又卒業以来種々御指導御鞭撻をいたいた日本大学横地伊三郎教授に深謝いたします。

本研究は多数の人々の好意と激励と援助の下に、昭和29年度以来の卒業研究学生諸君の晝夜を分ぬ努力によって成遂げられたものであつて、此所に深懇の謝意を表わします。特に本研究の初期からその重要性を指的して御鞭撻いたいた、名古屋大学條原卯吉教授、東北大学小池勇二郎教授、又本研究を米国に紹介せられた、E.M. Boone 教授、J.A. Hornbeck博士、T.J. Read博士に深く敬意を表するものであります。

猶、途中約一年に亘り、研究と共にせられた植之原道行博士及び常に有益なる検討と助言を与えられた、電気通信研究所、高津清一博士に深謝いたします。